# BAB I PENDAHULUAN

#### 1.1 Latar Belakang

Dewasa ini perkembangan di bidang teknologi berkembang begitu pesat sehingga para ilmuwan berlomba-lomba untuk melakukan inovasi di bidang teknologi. Khususnya kebutuhan akan pembangkit daya berskala kecil (*micro power generator*) juga terus meningkat seiring meningkatnya penggunaan peralatan listrik portabel seperti *note book computer*, kamera digital, peralatan navigasi dan komunikasi dalam bidang militer, pemutar musik, *handphone*, dan beberapa gadget lainnya. Dimana semua peralatan portabel ini membutuhkan energi yang di kemas dalam bentuk baterai. Sehingga alat-alat portabel di atas sangat bergantung pada kandungan energi yang di simpan di dalam baterai.

Dalam hal ini ketidakmampuan baterai untuk menyimpan energi dalam waktu lama dan membutuhkan waktu yang relatif lama untuk mengisi ulang kembali (recharge) menjadi titik lemah pada alat-alat portabel di atas. Selain itu baterai mempunyai dampak yang buruk pada lingkungan ketika di buang ke lingkungan, karena baterai terbuat dari bahan kimia. Oleh karena itu perlu di pikirkan pengembangan teknologi micro power generator yang memiliki densitas energi tinggi, memiliki waktu operasi yang relatif panjang dengan waktu isi ulang yang lebih pendek dan juga ramah lingkungan. Micro power generator merupakan baterai yang di proyeksikan mampu mengatasi permasalahan yang ada pada baterai generasi sekarang ini. Micro power generator terdiri dari micro/meso-scale combustor dan alat konversi energi termal menjadi listrik.

Micro/meso-scale combustor dengan pembakaran dan api yang stabil merupakan komponen yang sangat penting dalam micro power generator. Tetapi tidak mudah menjaga agar pembakaran berlangsung stabil dalam micro/meso-scale combustor. Hal ini karena ukuran ruang bakar yang kecil, sehingga waktu bahan bakar berada dalam ruang bakar (fuel residence time) terbatas. Selain itu tingginya laju kehilangan panas (heat loss) juga mengakibatkan terjadinya pemadaman api. Untuk mendapatkan kestabilan api dalam micro-/meso-scale combustor ini dapat di lakukan dengan cara meningkatkan waktu bahan bakar berada dalam ruang bakar dan meningkatkan kecepatan reaksi pembakaran serta meminimalisasi besarnya heat loss.

Heat loss dalam micro power generator di pengaruhi beberapa hal diantaranya adalah konduktivitas termal dinding combustor. Konduktivitas termal material dinding combustor mempunyai pengaruh yang sangat signifikan terhadap kestabilan api dalam micro/meso-scale combustor. Karena konduktivitas termal dinding combustor memiliki dua fungsi yang saling berlawanan yaitu menyebabkan heat loss dan heat recirculation. Apabila konduktivitas termal dinding combustor itu tinggi maka perpindahan panas dari flame ke dinding combustor akan semakin besar yang menyebabkan heat loss yang terjadi semakin besar. Hal ini akan mengakibatkan pemadaman api karena adanya penurunan temperatur dan kecepatan pembakaran, walaupun disisi lain juga terjadi peningkatan resirkulasi panas untuk pemanasan awal reaktan. Sebaliknya konduktivitas termal yang terlalu rendah mengakibatkan rendahnya resirkulasi panas dari nyala api untuk pemanasan awal reaktan, hal ini juga tidak baik untuk kestabilan api. Karena itu perlu diketahui nilai konduktivitas termal yang optimal sehingga api dalam meso scale combustor bisa stabil dalam batas mampu nyala yang lebih luas.

Beberapa penelitian telah di lakukan untuk memperoleh kestabilan api dalam *micro* atau meso-scale combustor. Seperti yang di lakukan Norton, el at, 2003 yang melakukan penelitian numerik mengenai pengaruh konduktivitas termal dalam combustor berbentuk plat paralel. Hasil penelitiannya menyatakan bahwa konduktivitas termal material dinding combustor mempunyai peranan yang cukup signifikan terhadap kestabilan api, karena sifat ini menentukan besarnya resirkulasi panas ke reaktan yang diperlukan untuk penyalaan dan kestabilan api. Kemudian disusul penelitian yang dilakukan Miesse, at al, 2004. Hasilnya menunjukkan bahwa dalam merancang micro/meso-scale combustor perlu didesain agar heat recirculation dapat terbentuk dengan sebaik-baiknya sehingga dapat terjadi pembakaran dalam micro- atau mesoscale combustor. Selanjutnya dalam penelitian yang di lakukan oleh Mikami, et al, 2012 diamati kestabilan api didalam meso-scale combustor yang terbuat dari quartz glass tube. Peneliti menyisipkan wire mesh yang terbuat dari bahan yang memiliki konduktivitas termal tinggi yaitu stainless steel untuk meningkatkan heat recirculation dalam combustor. Hasilnya didapatkan pembakaran yang stabil, karena wire mesh mempunyai peranan sebagai flame holder yang mengakibatkan terjadinya heat recirculation dari flame ke reaktan sehingga terjadi pembakaran yang stabil dalam meso-scale combustor.

Sehingga, berdasarkan penelitian yang telah dilakukan sebelumnya, maka dalam studi eksperimen ini akan diteliti lebih lanjut tentang pengaruh konduktivitas termal dinding combustor terhadap karakteristik pembakaran dalam meso-scale combustor dengan wire mesh didalamnya.

#### 1.2 Rumusan Masalah

Berdasarkan latar belakang diatas, dirumuskan sebuah permasalahan yaitu: bagaimana pengaruh konduktivitas termal dinding combustor terhadap karakteristik pembakaran dalam meso-scale combustor dengan wire mesh.

# 1.3 Batasan Masalah

Untuk menjadikan penelitian ini lebih terarah maka penulis akan memberikan batasanbatasan masalah yang meliputi hal-hal berikut ini:

- 1) Bahan bakar yang digunakan adalah *liquid petroleoum gas* (LPG).
- 2) Udara atmosfer digunakan sebagai oxidizer, disuplai ke meso-scale combustor menggunakan kompresor torak.
- 3) Debit bahan bakar dan udara diatur dengan menggunakan flowmeter bahan bakar dan udara.
- 4) Meso-scale combustor terbuat dari quartz glass tube, stainless steel, dan tembaga dengan diameter dalam 3.5 mm.
- 5) Wire mesh terbuat dari stainless steel dengan spesifikasi 60 mesh/inchi.
- 6) Proses pembakaran yang berlangsung adalah pembakaran *premixed*.
- 7) Karakteristik pembakaran yang diamati adalah visualisasi api, dan *flammability* limit

# 1.4 Tujuan Penelitian

Penelitian ini bertujuan untuk mengetahui pengaruh konduktivitas termal dinding combustor terhadap bentuk nyala, stabilitas api dan flammability limit dalam mesoscale combustor dengan wire mesh didalamnya.

# 1.5 Manfaat Penelitian

Penelitian ini diharapkan dapat memberi manfaat sebagai berikut:

- 1. Dapat mengetahui jenis material *meso-scale combustor* yang memiliki daerah kestabilan api dan *flammability limit* paling luas.
- 2. Dapat meningkatkan efisiensi pembakaran dan juga mengurangi emisi yang tidak diinginkan dalam gas buang, sebagai efek dari meningkatnya stabilitas api dan pembakaran.
- 3. Mendapatkan *meso-scale combustor* dengan pembakaran yang stabil dan densitas pembangkitan energi yang tinggi.
- 4. Diharapkan dapat memberikan dasar untuk perbaikan selannjutnya dalam desain *micro dan meso-scale combustor*.

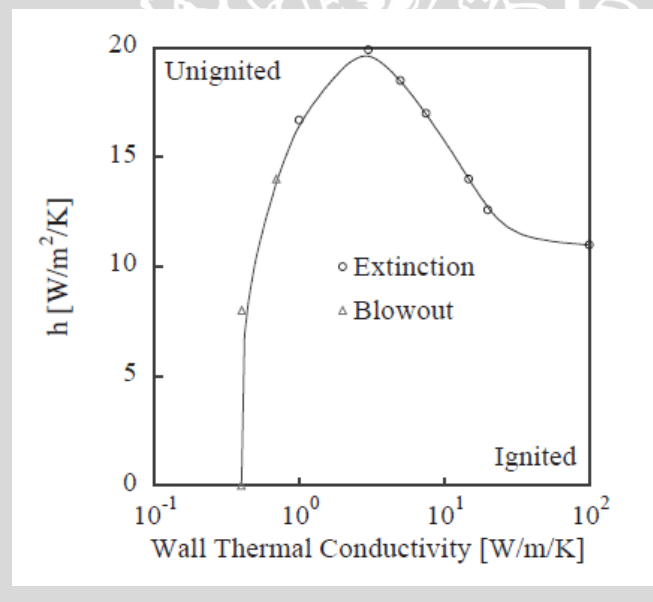


#### **BAB II**

#### TINJAUAN PUSTAKA

# 2.1 Penelitian Sebelumnya

Norton, et al, 2003 meneliti mengenai pengaruh konduktivitas termal material combustor tehadap kestabilan pembakaran premix, hasilnya digambarkan dengan grafik kestabilan api yang ditunjukkan pada Gambar2.1. Material dengan konduktivitas termal rendah mengakibatkan rendahnya perpindahan panas secara konduksi kearah *upstream*, menghasilkan kurangnya pemanasan awal reaktan. Hal ini menyebabkan terjadinya blow-out karena penyalaan api sulit untuk dilakukan. Sebaliknya material combustor dengan konduktivitas termal yang terlalu tinggi mengakibatkan besarnya kehilangan kalor secara konveksi dari dinding *combustor* ke lingkungan, mengakibatkan terjadinya pemadaman api (extinction) seperti ditunjukkan pada Gambar 2.1. Konduktivitas termal yang optimum untuk menghasilkan pembakaran yang stabil dengan flammability limit yang lebih luas adalah 3 - 5 W/mK.

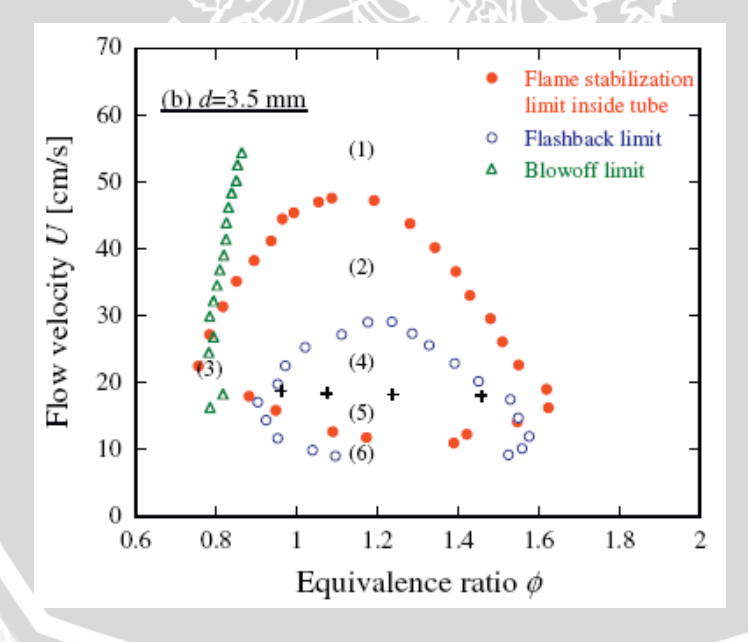


Gambar2.1. Diagram kestabilan api dalam *micro-combustor*.

Selanjutnya penelitian yang dilakukan Miesse, at al,2004 dia membuktikan pembakaran dalam micro- atau meso-scale combustor memungkinkan terjadi asalkan komposisi dan struktur dari material dinding combustor dikontrol dengan sebaik mungkin. Miesse menyimpulkan bahwa ada tiga syarat agar pembakaran didalam micro-atau meso-scale combustor dapat terjadi diantaranya adalah combustor perlu dirancang dengan sebaik mungkin terisolasi agar heat recirculation dapat terbentuk

dengan sebaik-baiknya sehingga dapt terjadi pembakaran dalam *micro-* atau *meso-scale combustor*. Dari penelitian tersebut ditunjukan bahwa pembakaran dalam *micro- atau meso-scale combustor* dapat terjadi apabila memperhatikan rancangan dari *combustor*.

Kemudian baru-baru ini Mikami, et al, 2012 melakukan penelitian tentang penggunaan wire mesh pada meso-scale combustor terhadap kestabilan api dan kecepatan pembakaran ( flame propagation ). Dari hasil penelitian tersebut diketahui bahwa dengan menyisipkan sebuah wire mesh yang terbuat dari material yang memiliki nilai konduktivitas thermal yang tinggi yakni stainless steel, dapat mestabilkan pembakaran dalam meso-scale combutor yang terbuat dari material yang terbuat dari bahan yang memiliki nilai konduktivitas rendah yakni quartz glass tube. Itu di sebabkan karena wire mesh memiliki peranan sebagai flame holder yang mengakibatkan terjadinya perpindahan panas ( heat recirculation ) dari flame ke reaktan sehingga terjadi pembakaran yang stabil dalam meso-scale combustor. Stable flame terjadi pada downstream mesh. Tanpa mesh stable flame hanya terjadi pada ujung pipa seperti yang ditunjukan pada gambar 2.2.



Gambar 2.2 Diagram kestabilan api dan *flammability limit* dalam *meso-scale combustor* Sumber : (Mikami, et al, 2012 in press)

Dari penelitian ini juga di ketahui bahwa kecepatan pembakaran ( *flame propagation* ) meningkat di daerah sekitar *wire mesh*. Hal ini terjadi karena *wire mesh* dapat meningkatkan perpindahan panas konduksi dari *flame* melalui dinding *combustor* untuk pemanasan awal reaktan, sehingga temperatur dan kecepatan pembakaran juga

meningkat. Sehingga api ( pembakaran ) menjadi lebih stabil dalam batas nyala tertentu. Seperti yang ditunjukan pada diagram di

Dalam penilitian ini akan diamati karakteristik pembakaran dalam *meso-scale* combustor yang terbuat dari material yang memiliki nilai konduktivitas thermal yang berbeda-beda dengan wire mesh di dalamnya.

#### 2.2 Pembakaran

Pembakaran merupakan reaksi kimia dan sehari-hari dekat dengan kehidupan kita, bahkan 90% energi di dunia diperoleh dari proses pembakaran fosil, pembakaran sendiri merupakan reaksi eksotermis, reaksi eksotermis ialah reaksi yang membebaskan kalor ke lingkungan.

Ciri-ciri reaksi eksotermis adalah:

- Disertai kenaikan suhu
- Biasanya suhu sistem lebih besar dari suhu lingkungan
- Kalor berpindah dari sistem ke lingkungan
- Biasanya menghasilkan gas contohnya gas CO<sub>2</sub> dan H<sub>2</sub>

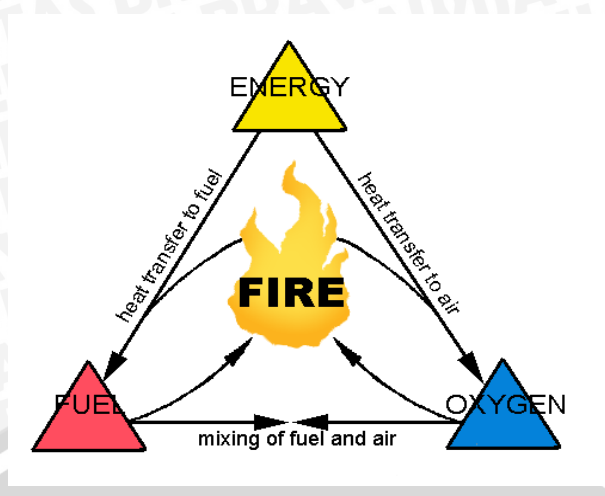
#### 2.2.1 Definisi Pembakaran

Definisi pembakaran yaitu reaksi kimia antara bahan bakar dan pengoksida (oksigen atau udara) yang menghasilkan panas dan cahaya.

Ada tiga syarat utama agar pembakaran bisa terjadi yaitu:

- 1. Bahan bakar
- 2. Pengoksidasi ( oksigen atau udara )
- 3. Panas atau energi aktivasi

Berikut ini merupakan sebuah ilustrasi bagaimana pembakaran bisa terjadi.



Gambar 2.3 Ilustrasi proses pembakaran

Sumber: chemical-sciene.blogspot.com

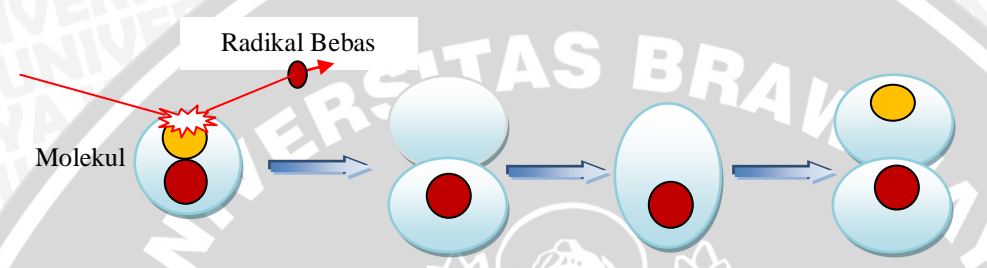
Agar suatu proses pembakaran bisa terjadi perlu adanya energi aktivasi dimana energi ini berrfungsi untuk mengaktifkan molekul - molekul bahan bakar, sehingga molekul – molekul tersebut menjadi bermuatan dengan cara melepaskan satu atau beberapa elektron dari kulit terluar atom atau memutuskan ikatan rantai molekul. Akan tetapi yang perlu di perhatikan apabila terlalu banyak atau terlalu sedikit oksidator pada jumlah bahan bakar tertentu akan mengakibatkan tidak terbakarnya bahan bakar dan terbentuk CO. Jumlah oksigen tertentu sangat di butuhkan agar pembakaran dapat terjadi secara sempurna, selain itu dibutuhkan tambahan udara berlebih untuk menjamin pembakaran yang terjadi benar – benar sempurna. Walaupun demikian apabila terlalu banyak tambahan udara berlebih maka akan mengakibatkan kehilangan panas (heat loss) dan buruknya efisiensi.

#### 2.2.2 Reaksi Pada Proses Pembakaran

Pada proses pembakaran terjadi proses kimia kompleks antara bahan bakar dan pengoksidasi ( oksigen atau udara ). Kondisi dimana di capai pembakaran yang sempurna yang di sebut pembakaran stoikiometri. Pembakaran stoikiometri dapat di katakan pembakaran sempurna karena semua atom dari bahan bakar dan pengoksidasi bereaksi seluruhnya ( sempurna ) dan menghasilkan berbagai produk CO2, H2O, dan N2.

Agar reaksi pembakaran bisa berlangsung maka molekul - molekul bahan bakar dibuat bermuatan dengan cara memutus ikatan kimia suatu bahan

bakar menjadi molekul bermuatan yang disebut ion. Molekul bermuatan akibat pemutusan ikatan molekul — molekul disebut radikal bebas. Radikal bebas ini jika menghantam ( menumbuk ) molekul lainya dapat menyebabkan antara ikatan molekul tersebut merenggang dan mengerut secara electron seperti yang ditunjukan pada gambar 2.2. Dengan tambahan sedikit energi dari luar pada saat jarak ikatan atom dalam keadaan merenggang dapat menyebabkan atom — atom dalam molekul terputus dan bermuatan. Jadi peranan radikal bebas sangat berpengaruh dalam membantu proses reaksi di dalam pembakaran.



Gambar 2.4 Keadaan molekul ketika tertabrak radikal bebas. Sumber: Wardana (2008:5).

Berdasarkan hukum Newton bahwa besar gaya tarik menarik dua buah masa berbanding terbalik dengan jaraknya. Semakin kecil jarak antar atom maka ikatan antar atomnya semakin kuat, sebaliknya jika jarak antar atom semakin renggang maka ikatan antar atomnya semakin lemah. Ikatan rangkap lebih kuat dari pada ikatan tunggal, dan ikatan tripel lebih kuat pada ikatan rangkap dan seterusnya.

Ada beberapa cara untuk memutus ikatan atom dalam rantai molekul atau membuat molekul bermuatan diantaranya adalah :

- Dengan pemanasan bahan bakar terlebih dahulu sebelum melakkukan proses pembakaran. Pemanasan ini membuata gerakan molekul – molekul bahan bakar dan pengoksidasi menjadi lebih cepat dan tumbukan antar molekul menjadi sangat keras. Akibatnya beberapa atom dengan ikatan lemah terlepas.
- Dengan menggunakan katalis, disini katalis berperan untuk merangsang elektron yang mengikat atom dalam molekul bahan bakar agar meninggalkan molekul bahan bakar sehingga molekul pecah dan bermuatan.

Beberapa cara diatas secara langsung menganggu elektron yang merupakan pengikat molekul agar elektron — elektron meninggalkan molekul dengan tujuan untuk memutus ikatan rantai molekul sehingga menyebabkan turunya energi aktivasi dan pembakaran jadi lebih muda efeknya bahan bakar dapat terbakar secara maksimal.

# 2.2.3 Pembakaran dan Campuran Stoikiometri

Pemakaran stoikiometri merupakan suatu pembakaran yang terjadi jika semua unsur C, H, dan S yang terkandung dalam bahan bakar bereaksi membentuk  $CO_2$ ,  $H_2O$ , dan  $SO_2$ . Pembakaran sempurna dapat dicapai dengan percampuran yang tepat antara bahan bakar dengan oksidator ( oksigen ). Dibawah ini merupakan contoh pembakaran sempurna pada hidro karbon :

$$0.7C_3H_{8(g)} + 0.3C_4H_{10(g)} + 5.45 (O_2 + 3.76N_2)_{(g)} \longrightarrow 3.3CO_{2(g)} + 4.3H_2O_{(g)} + 20.492N_{2(g)}$$
 (2.1)

Reaktan

Produk

Pada kondisi yang umum udara yang di pakai untuk mengoksidasi bahan bakar pada kenyataanya mengandung oksigen  $(O_2)$ , Nitrogen  $(N_2)$ , Argon (Ar), Karbon dioksida  $(CO_2)$ , Uap air  $(H_2O)$  dan sejumlah gas dalam bagian yang cukup kecil. Udara yang normal merupakan campuran gas – gas meliputi 78%  $N_2$ ; 20% $O_2$ ; 0,94% Ar; 0,03%  $CO_2$  dan gas – gas lainnya dengan konsentrasi yang sangat kecil. Komposisi udara kering yang bersih, dapat dilihat pada tabel di bawah ini:

#T1 11 ( P.	1501				
Udara	Propor	si Volume %	Proporsi masa %		
Odara	Aktual	Penggunaan	Aktual	Penggunaan	
Nitrogen	78,03	79	75,45	76,8	
Oksigen	20,99	21	23,20	23,2	
Argon	0,94	0	1,30	0	
$CO_2$	0,03	0	0,05	0	
Gas	0,01	0	1	0	
lainnya	ŕ				

Tabel 2.1 Kompisisi Udara Kering

Sumber: Wardana (2008)

Agar lebih memudahkan perhitungan dalam reaksi pembakaran, dapat dipakai asumsi udara terdiri 21 %  $O_2$  dan 79%  $N_2$ . Oleh karena itu, pada reaksi pembakaran dengan udara, penggunaan 1 mol  $O_2$  akan melibatkan penggunaan  $\left(\frac{79,0}{21,0}\right)=3,76$ mol  $N_2$ . Untuk dapat mencapai pembakaran yang sempurna semua atom C diharapkan dapat terbakar menjadi  $CO_2$  dan semua atom  $H_2$  dapat terbakar menjadi  $H_2O$ .

#### 2.2.4 Ratio Udara – Bahan Bakar (AFR)

Perbandingan campuran bahan bakar dan udara memegang peranan yang penting pula dalam menentukan hasil proses pembakaran itu sendiri yang secara langsung mempengaruhi reaksi pembakaran yang terjadi serta hasil keluaran (produk) proses pembakaran.

Rasio udara/bahan bakar (*air-fuel ratio*) dari suatu reaksi dinyatakan dengan persamaan berikut, dimana N adalah jumlah mol sedangkan M adalah massa molekul:

$$(AFR)_{\text{stoic}} = \left(\frac{N_{udara}}{N_{ba\ han\ bakar}}\right)_{\text{stoic}}$$
(2.2)

$$(AFR)_{\text{stoic}} = \left(\frac{M_{udara}}{M_{ba \ han \ bakar}}\right)_{\text{stoic}} \tag{2.3}$$

Pada pecampuran udara – bahan bakar pada LPG dengan perbandingan komposisi (70% propane dan 30% butane ) stoikiometri diperoleh rasio seperti dibawah ini:

$$0.7 \text{ C}_3\text{H}_8(\text{OH})_3 + 0.3 \text{ C}_4\text{H}_{10} + 5.45 (\text{O}_2 + 3.76 \text{ N}_2)$$

$$3.3 \text{ CO}_2 + 4.3 \text{ H}_2\text{O} + 20.492 \text{ N}_2$$

AFR = 
$$\frac{5,45 (2 \times 16 + 3,76 \times 14 \times 2)}{0,7(12 \times 3 + 8) + 0,3 (4 \times 12 + 10)} = 15,5223 \frac{\text{kg udara}}{\text{kg bahan bakar}}$$

# 2.2.5 Rasio Ekuivalen ( Equivalent Ratio )

Metode ini termasuk juga metode yang umum digunakan. Rasio ekuivalen didefenisikan sebagai perbandingan antara rasio udara-bahan bakar (AFR) stoikiometrik dengan rasio bahan bakar - udara (AFR) sebagai berikut :

$$\Phi = \frac{AFR_s}{AFR_a} \tag{2-4}$$

- $\Phi > 1$  terdapat kelebihan bahan bakar dan campurannya disebut sebagai campuran kaya bahan bakar (*fuel-rich mixture*)
- $\Phi$  < 1 campurannya disebut sebagai campuran miskin bahan bakar (*fuellean mixture*)
- $\Phi = 1$  merupakan campuran stoikiometrik

# 2.3 Jenis-jenis Pembakaran

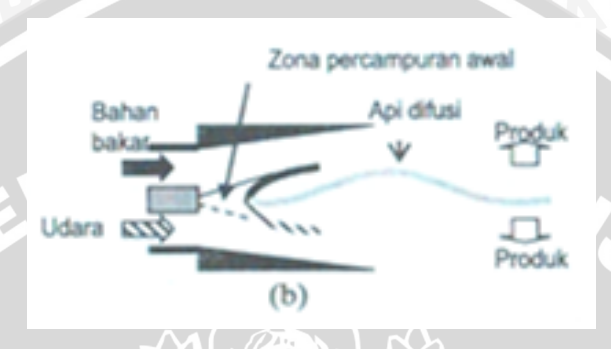
Pembakaran pada umumnya ditentukan oleh dua karakter, karakter yang pertama di tentukan cara reaktan terbakar dalam zona reaksi. Ada dua jenis pembakran berdasarkan karakteristik yang pertama yakni:

- 1. Pembakaran *premixed*
- 2. Pembakaran difusi

Pembakaran *premixed* ialah apabila reaktan ( udara – bahab bakar ) tercampur sebelum masuk pada zona reaksi. Sedangkan pembakaran difusi percampuran bahan bakar dan udara yang berlangsung di zona reaksi adalah akibat difusi molekul. Dibawah ini merupakan penjelasan dari pembakaran difusi lebih lanjut.

Pada pembakaran difusi, bahan bakar dan udara masuk ke dalam ruang bakar melalui saluran yang berbeda dan keluar dalam bentuk produk setelah terbakar di zona reaksi. Bahan bakar dan udara bercampur di zona reaksi akibat difusi molekul dan setelah bercampur sempurna kemudian terbakar. Sebelum api difusi terbentuk, terlebih

dahulu bahan bakar dan udara bercampur didaerah percampuran awal dan terbakar membentuk api premixed sebagian. Api premixed pada sisi bahan bakar menjadi kaya bahan bakar dan api yang disisi udara menjadi api kaya udara atau api miskin bahan bakar, peran api premixed sebagai penyetabil api difusi. Api difusi tidak bisa merambat menuju bahan bakar karena kekurangan oksigen demikian juga sebaliknya api difusi tidak bisa merambat menuju udara karena kekurangan bahan bakar. Posisi api difusi berada pada daerah campuran udara bahan bakar stoikiometri.



Gambar 2.5 Cara reaktan terbakar pada pembakaran difusi

Sumber: Wardana (2008:149)

Karakter yang kedua ditentukan berdasarkan karakter aliran reaktan yaitu aliran laminar atau aliran turbulen. Pada pembakaran dengan aliran laminar semua proses percampuran dan proses penajlaran reaktan maupun panas terjadi secara molekuler. Dan pada pembakaran dengan aliran turbulen semua proses percampuran dan penjalaran di bantu oleh gerakan – gerakan pusaran turbulen.

#### 2.4 Pembakaran Premixed

Pada pembakaran premixed terjadi perambatan gelombang pembakaran yang disebut dengan flame front. Gelombang pembakaran merambat ke arah reaktan, dan di belakang gelombang pembakaran terbentuk produk pembakaran. Pada gambar reaktan ( bahan bakar dan udara ) bercampur sebelum masuk ke zona reaksi. Proses reaksinya berlangsung sangat cepat biasanya pada tekanan tetap. Setelah melewati zona reaksi reaktan menjadi produk. Zona reaksi sangat tipis yang disebut api premixed. Api premixed akan merambat menuju ke arah reaktan dengan kecepatan unik. Jika kecepatan reaktan sama dengan kecepatan rambatan api maka api ( zona reaksi ) akan stasioner.



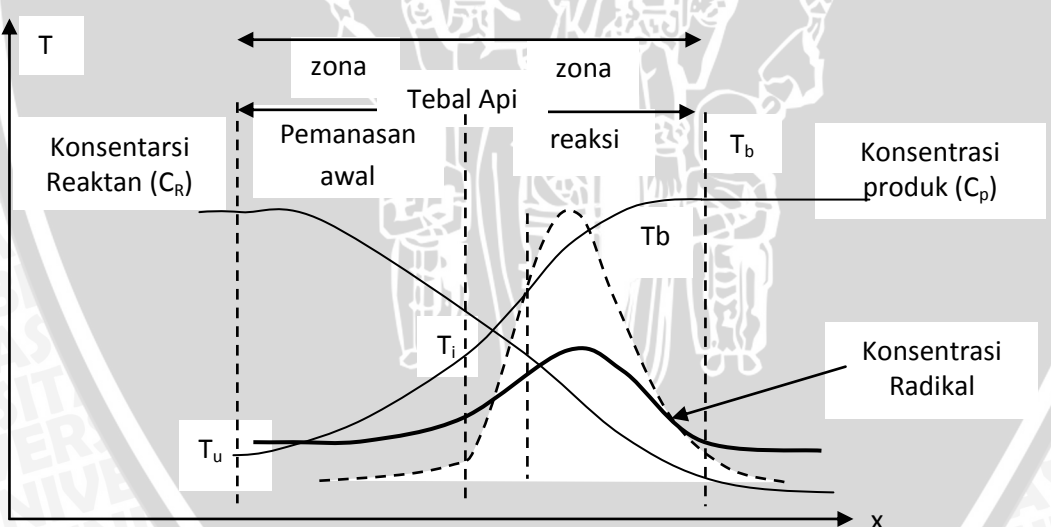
Gambar 2.6 Cara reaktan terbakar pada pembakaran premixed

Sumber: Wardana (2008:149)

Dalam gelombang pembakaran terdapat dua zona yaitu :

- Zona pemanasan awal (preheat zona).
   Daerah dimana panas belum terlalu tinggi dan masih banyak bahan bakar yang belum terbakar (unburn fuel).
- 2. Zona reaksi (reaction zona) Daerah dimana sebagain besar energy kimia dilepaskan.

Seperti terlihat pada gambar 2.5 berikut :



Gambar 2.7 Detail struktur di dalam api *premixed*. Sumber: Wardana (2008:155)

#### Keterangan gambar:

 $C_R$  = konsentrasi reaktan

 $T_i$  = temperatur intermediate

C<sub>P</sub> = konsentrasi produk

 $T_b = temperatur produk$ 

T = distribusi temperatur

 $T_u = temperatur reaktan$ 

U = distribusi kecepatan gas

Distribusi konsentrasi reaktan, konsentrasi produk, konsentarsi radikal, temperatur dan kecepatan gas seperti terlihat pada gambar 2.5. Radikal akan selalu muncul pada zona reaksi sebagai konsekuensi dari reaksi tersebut. Dalam api terjadi gradien temperatur, dimana temperatur produk lebih tinggi dari temperatur reaktan. Oleh karena itu berdasarkan hukum termodinamika maka akan terjadi transfer panas dari produk ke reaktan. Transfer panas yang terus menerus tersebut akan meningkatkan temperatur reaktan. Jika temperatur reaktan meningkat maka daerah pemanasan awal akan bergeser ke kiri, sedangkan zona yang terjadi menjadi zona pemanasan awal temperaturnya akan lebih tinggi sehingga terjadi pembakaran. Peristiwa ini terjadi secara kontinyu sehingga api merambat ke arah reaktan. Kecepatan rambatan api tersebut disebut kecepatan pembakaran. Kecepatan pembakaran dalam pembakaran premixed biasanya di beri notasi S<sub>L</sub>.

# 2.4.1 Kecepatan Pembakaran

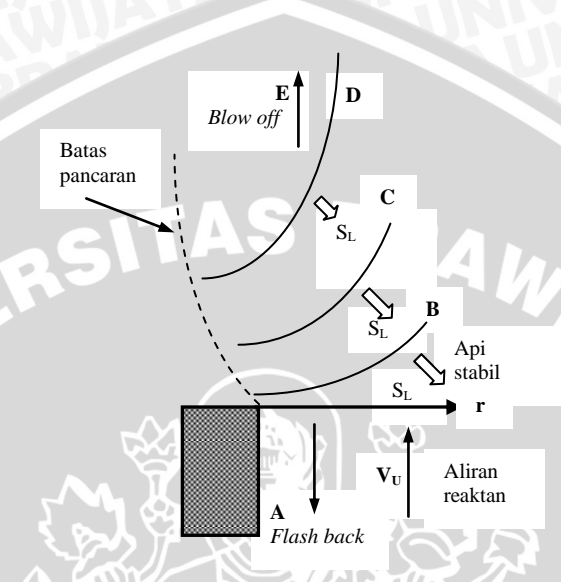
Kecepatan pembakaran merupakan gelombang pembakaran (api) menuju reaktan yang terjadi karena adanya gradien temperatur antara produk yang memiliki temperatur tinggi dan reaktan yang memiliki temperatur rendah, sehingga terjadi transfer panas dari produk ke reaktan. Faktor-faktor yang mempengaruhi kecepatan pembakaran diantaranya adalah :

- a. Turbulensi aliran untuk pengadukkan bahan bakar dan udara.
- b. Luas daerah kontak reaksi antara bahan bakar dan udara.
- c. Temperatur pembakaran.
- d. Katalis

# 2.4.2 Kestabilan Api dan Flammability Limit

Pada pembakaran premixed, api akan stabil bila kecepatan reaktan  $V_U$  = kecepatan pembakaran  $S_L$ . Bila  $V_U < S_L$  akan mengakibatkan terjadinya flash back. Tetapi sebaliknya, bila  $V_U > S_L$  akan mengakibatkan terjadinya lift-off atau blow-off. Kestabilan api dalam micro- atau meso-scale combustor sangat sulit untuk diwujudkan. Kecepatan reaktan harus diperbesar bila ingin mendapatkan

laju pembangkitan energi yang tinggi pada ruang bakar yang kecil. Selanjutnya, dengan ukuran ruang bakar yang kecil laju kehilangan panas ( *heat loss* ) sangat besar sehingga menyebabkan penurunan dan kecepatan pembakaran yang pada akhirnya mengakibatkan pemadaman api. Oleh karena itu, kestabilan api dalam *micro* atau *meso-scale combuster* menjadi masalah yang sangat krusial.



Gambar 2.8 mekanisme kestabilan api *premixed* Sumber: Wardana (2008:171)

Mengunakan *external heating* atau menggunakan katalis adalah upaya untuk meningkatkan kecepatan pembakaran, yang dilakukan pada penelitian sebelumnya. Tetapi penggunaan *external heating* atau menggunakan katalis tidak efisien. Karena memerlukan tambahan energi untuk pemanas yang sangat besar ditambah lagi harga katalis yang sangat mahal. Sehingga muncul pemikiran menggunakan *micro- atau meso-scale combustor* tanpa menggunakan *external heating* atau penggunaaan katalis.

Suatu hal yang sangat penting dalam perencanaan pembakaran gas adalah mencegah terjadinya *flashback* dan *blow-off*. Batas kestabilan nyala api berhubungan erat dengan fenomena *flashback*, *lift-up*, dan *blow-off*.

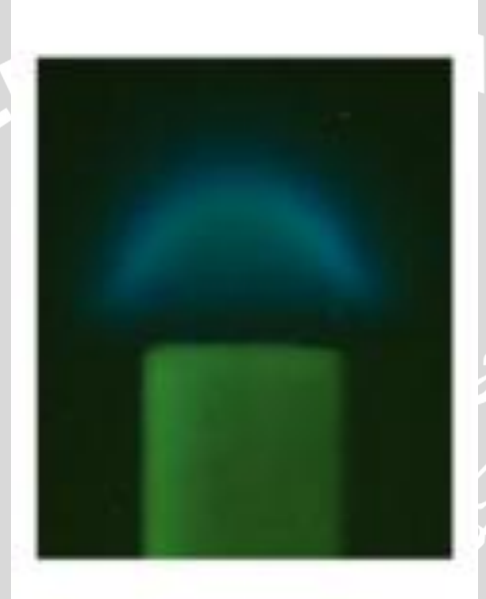
#### 2.4.3 Fenomena Flashback

Flashback terjadi ketika kecepatan pembakaran lebih besar daripada kecepatan campuran udara-bahan bakar, sehingga nyala api masuk kesaluran campuran reaktan menuju tabung bahan bakar (sumber bahan bakar), dapat juga disebut sebagai *back fire* atau *light back. Flashback* tidak hanya mengganggu

proses pembakaran, tetapi juga dari sisi keamanan bisa menjadi berbahaya karena bisa mengakibatkan terjadinya kebakaran & ledakan.

# 2.4.4Fenomena Lift-off

Lift-off adalah kondisi dimana nyala api tidak menyentuh permukaan mulut tabung pembakar, tetapi agak stabil pada jarak tertentu dari ujung tabung pembakar. Fenomena nyala api terangkat (lift-off) sangat tergantung pada sifat aliran dekat ujung (mulut) tabung pembakar. Apabila kecepatan aliran cukup rendah, ujung bawah nyala api berada sangat dekat dengan ujung tabung pembakar dan hal ini dapat dikatakan api menempel.



Gambar 2.9 Fenomena lift-off pada mini tube nozzle Sumber : (J.Chen, et al, in press)

Dengan meningkatkan kecepatan aliran hingga mencapai kecepatan kritis, ujung nyala akan meloncat keposisi jauh dari ujung (mulut) pembakar dan nyala dikatakan terangkat. Kondisi nyala terangkat inilah yang dikatakan lift-off. Jika kecepatan aliran terus dinaikkan, maka nyala secara kasar akan padam dan kondisi ini tidak diinginkan.

#### 2.4.5 Fenomena Blow-Off

Blow-off merupakan suatu keadaan dimana nyala api padam akibat dari batas kecepatan aliran lebih besar dari laju nyala atau kecepatan pembakaran. Maka dari itu pengaturan debit pada bahan bakar dan udara sangat diperlukan, untuk menghindari kondisi seperti ini.

#### 2.5 Pembangkit Listrik Tenaga Mikro ( *Micro Power Generator* )

Semakin meningkatnya penggunaan alat – alat listrik portabel mendorong berkembangnya pembangkit tenaga listrik skala kecil ( micro – power generator device ) dalam dua dekade terakhir ini. Tenaga listrik untuk peralatan portabel, selama ini di penuhi dengan menggunakan berbagai macam baterai salah satunya adalah baterai litium ion. Baterai ini memiliki densitas energi yang rendah. Oleh karena itu waktu penggunaanya relatif lebih pendek jika dibandingkan dengan waktu isi ulang yang relatif lebih panjang. Saat ini baterai belum dapat memenuhi kebutuhan akan sumber energi dengan densitas yang tinggi dengan waktu isi ulang yang cepat, hal inilah yang mendorong untuk penelitian lebih lanjut mengenai micro – power generator.

Micro – power generator ini sendiri di klasifikasikan dalam dua kategori utama (Kyritsis, 2002). Kategori yang pertama meliputi micro – power generator yang beroperasi berdasarkan pada siklus daya konvensional, contohnya mesin mikro rotari dan mikro gas turbin. Prinsip dasar pembangkitan energi listrik dalam sistem ini adalah: energi thermal dikonversikan menjadi energi energi mekanik berdasarkan pada suatu siklus thermodinamika tertentu, dilanjutkan dengan energi mekanik dikonversikan menjadi energi listrik menggunakan generator listrik. Sistem ini mencakup peralatan yang bergerak dengan kecepatan yang sangat tinggi, sehingga menyebabkan kehilangan energi karena gesekan dan panas dalam jumlah yang sangat besar. Sistem ini juga memiliki masalah yang cukup serius pada balancing dan sealing. Kategori yang kedua mencakup sistem dengan pembakaran dalam kondisi steady (yang berfungsi sebagai sumber panas), yang dihubungkan dengan modul pengkonversi energi untuk mengkonversikan energi panas menjadi energi listrik.

Dalam hal ini *micro power generator* direncanakan menggunakan bahan bakar fosil yang memiliki densitas energi sekitar 45MJ/Kg, kira – kira 100 kali lebih besar dari pada densitas yang dimiliki baterai litium terbaik yakni sekitar 0.5MJ/Kg. Jika *micro – power generator* dapat membangkitkan listrik dengan efisiensi sebesar 10% maka alat tersebut akan mempunyai densitas energi 10 kali lebih besar dari pada densitas yang dimiliki baterai – baterai di pasaran. Tetapi konsep mengenai *micro – power generator* ini masih merupakan sesuatu yang baru sehingga belum banyak yang mengembangkan konsep ini. Efisiensi dari sistem yang telah berhasil dibuat masih menghasilkan efisiensi yang sangat rendah. Sehingga masih sangat memungkinkan

untuk melakukan penelitian lebih lanjut untuk mendapatkan micro – power generator dengan efisiensi dan densitas energi yang tinggi.

#### 2.6 Micro dan Meso-scale Combustor

Meso-scale combustor merupakan ruang bakar yang mempunyai ukuran yang sangat kecil dengan range diameter 1-10mm bila dibandingkan dengan ruang bakar pada umumnya seperti yang kita ketahui selama ini seperti ruang bakar motor bensin maupun motor diesel. Sumber energi dari micro-power generator adalah energi termal dari micro- dan meso-scale combustor yang nantinya dikonversi menjadi energi listrik.

Pembakaran yang stabil dari micro- atau meso-scale combustor merupakan hal yang paling penting dalam *micro-power generator*, karena berfungsi untuk merubah energi kimia bahan bakar menjadi energi panas, yang selanjutnya dikonversikan menjadi energi listrik. Dalam *micro- atau meso-scale combustor* menjaga kestabilan api pada saat pembakaran terjadi sangat sulit diwujudkan dikarenakan waktu reaksi ( pembakaran ) bahan bakar dalam ruang bakar terbatas dan tingginya laju kehilangan panas ( heat loss ) yang mengakibatkan pemadaman api. Untuk memperbaiki stabilitas api dan flammability limit dalam micro- atau meso-scale combustor banyak dilakukan penelitian menggunakan micro- atau meso-scale combustor dengan bahan bakar gas. Beberapa diantaranya yang dilakukan oleh ( Yang, et al, 2002 ) dia menggunakan dinding combustor berundak dengan tujuan untuk memperbaiki percampuran udara bahan bakar dan memperpanjang waktu bahan bakar berada dalam daerah reaksi pembakaran. Kemudian pada tahun 2007 ( Kim, et al, 2007 ) melakukan penelitian dengan tujuan untuk mengurangi kehilangan kalor dan pemanasan awal reaktan dia menggunakan swiss – roll combustor. Pemanasan reaktan ( bahan bakar ) atau dinding ruang bakar dilakukan untuk meningkatkan stabilitas api dan memperluas flammability limit.

Micro- atau meso-scale combustor memiliki ukuran dan komponen – komponen yang sangat kecil dibandingkan ruang bakar pada umumnya mengakibatkan terjadinya karakteristik khusus sehubungan dengan aliran fluida, perpindahan panas, dan proses pembakaran yang ada didalamnya. Dalam micro- atau meso-scale memiliki ruang bakar yang berukuran kecil sehingga aliran fluidanya cenderung bersifat laminar, sehingga efek viskos serta perpindahan massa dan panas secara difusi menjadi dominan. Selain itu, dengan ukuran ruang bakar yang kecil membuat perbandingan antara luas

permukaan terhadap volume ruang bakar menjadi lebih besar. Hal ini menyebabkan perbandingan antara kehilangan kalor ( heat loss ) dengan kalor yang dihasilkan dari proses pembakaran ( heat generator ) menjadi lebih besar serta, sehingga menghasilkan penurunan temperatur nyala api dan penurunan kecepatan pembakaran yang pada akhirnya menyebabkan pemadaman api ( *flame quenching* ).

Radical quenching merupakan faktor lain yang menyebabkan pemadaman api yang terjadi pada dinding ruang bakar. Radical quenching adalah bereaksinya radikal bebas yang menghasilkan kestabilan unsur ketika berada pada dinding ruang bakar. Bertambahnya jumlah radikal bebas akan menurunkan kecepatan pembakaran, hal ini yang pada akhirnya juga akan mengakibatkan pemadaman api.

Dari penjelasan diatas, diketahi bahwa tidaklah mudah untuk mendapatkan pembakaran dann api yang stabil dalam micro- atau meso-scale combustor. Oleh karena itu dalam penelitian ini saya mencoba untuk mengubah material dinding combustor vang memiliki nilai konduktivitas vang berbeda – beda dengan harapan bisa memperoleh pembakaran dan api yang stabil serta memperluas daerah flammability limit dengan mereduksi heat loss.

# 2.7 Liquid Petrolium Gas (LPG)

LPG merupakan bahan bakar berupa gas yang dicairkan (Liquified Petroleum Gasses) merupakan produk minyak bumi yang diperoleh dari proses distilasi bertekanan tinggi. Fraksi yang digunakan sebagai umpan dapat berasal dari beberapa sumber yaitu dari Gas alam maupun Gas hasil dari pengolahan minyak bumi (*Light End*). Komponen utama LPG terdiri dari Hidrokarbon ringan berupa Propana (C<sub>3</sub>H<sub>8</sub>) dan Butana (C<sub>4</sub>H<sub>10</sub>), serta sejumlah kecil Etana ( $C_2H_{61}$ ) dan Pentana ( $C_5H_{12}$ ), dengan perbandingan Propana  $(C_3H_8)$ : Butana  $(C_4H_{10}) = 30$ : 70 seta nilai kalor  $\pm$  21.000 BTU/lb.dengan persamaan kimia dibawah ini:

$$0.7 \text{ C}_3\text{H}_8 \text{ (OH)}_3 + 0.3 \text{ C}_4\text{H}_{10} + 5.45 \text{ (O}_2 + 3.76 \text{ N}_2)$$
 3.3 CO<sub>2</sub> + 4.3 H<sub>2</sub>O + 20.492 N<sub>2</sub>

LPG digunakan sebagai bahan bakar untuk rumah tangga dan industri. LPG terutama digunakan oleh masyarakat tingkat menengah keatas yang kebutuhannya semakin meningkat dari tahun ketahun karena termasuk bahan bakar yang ramah lingkungan. Sebagai bahan bakar untuk keperluan rumah tangga, LPG harus memenuhi beberapa persyaratan khusus dengan tujuan agar aman dipakai dalam arti tidak membahayakan bagi si pemakai dan tidak merusak peralatan yang digunakan serta effisien dalam pemakaiannya.

Oleh sebab itu untuk menjaga faktor keselamatan, LPG dimasukan ke dalam tabung yang tahan terhadap tekanan yang terbuat dari besi baja dan dilengkapi dengan suatu pengatur tekanan. Disamping itu untuk mendeteksi terjadinya kebocoran LPG, maka LPG sebelum dipasarkan terlebih dahulu ditambahkan zat pembau (odor) sehingga apabila terjadi kebocoran segera dapat diketahui. Pembau yang ditambahkan harus melarut sempurna dalam LPG, tidak boleh mengendap. Untuk maksud itu digunakan etil merkaptan (C<sub>2</sub>H<sub>5</sub>SH) atau butil merkaptan (C<sub>4</sub>H<sub>9</sub>SH). Sedangkan dibidang industri produk elpiji digunakan sebagai pengganti *freon, aerosol, refrigerant / cooling agent*, kosmetik dan dapat pula digunakan sebagai bahan baku produk khusus.

#### **2.7.1 Jenis LPG**

Sesuai dengan penggunaannya sebagai bahan bakar elpiji dibedakan atas:

#### 1. LPG Mix

Adalah camuran propane dan butana dengan komposisi antara 70-80% dan 20-30% volume dan diberi odorant (Mercaptant) dan umumnya digunakan untuk bahan bakar rumah tangga.

#### 2. LPG propane dan Elpiji butana.

Adalah elpiji yang masing-masing mengandung propane 95 % dan butana 97,5 % volume dan diberi odorant (mercaptant), umumnya digunakan untuk keperluan industri.

# 2.7.2 Persyaratan LPG

Syarat-syarat utama dalam pemakaian LPG adalah harus dipenuhinya:

# 1. Syarat Pembakaran

Pada saat digunakan sebagai bahan bakar untuk kompor LPG harus memberi warna api kompor yang biru dan tidak memberi asap. Agar api kompor berwarna biru, maka komposisi campuran propana dan butana harus minimum 97,5%. Sebaliknya jika LPG mengandung fraksi  $C_5^+(C_6)$  heavier) lebih dari maksimumnya yaitu 2,0% maka nyala api kompor agak kemerah-merahan. Jadi agar syarat pembakaran menjadi baik maka komposisi  $C_2$  harus maksimum 0,2% vol,  $C_3$  dan  $C_4$  minimum 97,5% vol serta kandungan  $C_5^+(C_6)$  heavier) maksimum 2,0% vol.

# 2.Syarat Penguapan

Kemampuan menguap adalah sifat penting dalam penggunaan, LPG harus cukup mudah menguap agar mudah dinyalakan diwaktu dingin. Seperti diketahui saat dalam tabung gas LPG adalah berbentuk cair, namun saat dipakai dalam kompor (pada tekanan atmosfer) dengan cepat LPG berubah menjadi gas. Untuk memenuhi persyaratan penguapan maka Tekanan Uap LPG tidak boleh lebih dari 120 psig.

# 3. Syarat Keselamatan

Dalam pemakaiannya sebagai bahan bakar rumah tangga, jika terjadi kebocoran maka LPG harus cepat dapat dideteksi dengan diberi bau yang khas, agar baunya cepat dikenali saat terjadi kebocoran maka pada LPG diberi campuran Ethyl atau Buthyl mercaptan sebanyak 50/100 AG.

Saat masih di pabrik, jika terjadi kebocoran LPG di malam hari akan sangat berbahaya, karena Spesific Grafity LPG sama dengan atau lebih besar dari SG udara, maka LPG akan terdistribusi merata di atas tanah pada malam hari.

Untuk menjaga agar cairan LPG tidak merusak tabung gas dalam penyimpanan atau merusak kompor dalam penggunaannya dengan terjadinya proses pengkaratan maka harus ada persyaratan pemeriksaan Copper strip pada 100°F selama 1 jam dengan nilai maksimum No. 1.

# 4.Syarat Kebersihan

Syarat kebersihan secara umum adalah dibatasinya kandungan air dan kandungan belerang, dimaksudkan agar pada penggunaannya LPG tidak memberikan kotoran sama sekali.

#### 2.7.3 Sifat LPG

Perlu diketahui, gas LPG bersifat *flammable* (mudah terbakar). Dalam batas *flammabality*, LPG adalah sumber api yang terbuka. Sehingga letupan (percikan api) yang sekecil apapun dapat segera menyambar gas LPG.

Maka untuk menjaga keamanan pastikan bahwa bau gas LPG telah hilang sama sekali dari dalam rumah, walaupun membutuhkan waktu yang agak lama. Hal ini karena sifat gas LPG yang sangat lamban berputar di udara.

Sebagai bahan bakar, gas LPG mudah terbakar apabila terjadi persenyawaan di udara. Untuk mencegah hal-hal yang tidak diinginkan perlu diketahui beberapa sifat khususnya.

- 1. Tekanan gas LPG cukup besar, sehingga bila terjadi kebocoran LPG akan membentuk gas secara cepat, memuai dan sangat mudah terbakar.
- 2. LPG menghambur di udara secara perlahan sehingga sukar mengetahuinya secara dini.
- 3. Berat jenis LPG lebih besar dari pada udara sehingga cenderung bergerak kebawah.
- 4. LPG tidak mengandung racun.
- 5. Daya pemanasannya cukup tinggi, namun tidak meninggalkan debu dan abu (sisa pembakaran).
- 6. Cara penggunaannya cukup mudah dan praktis.

# 2.8 Konduktivitas Thermal dan Heat Loss Management pada Meso-scale Combustor

Konduktivitas thermal atau ketahan thermal adalah suatu fenomena transport dimana perbedaan temperatur menyebabkan transfer energi thermal dari satu daerah benda panas ke daerah yang sama pada temperatur yang lebih rendah. Panas yang di transfer dari satu titik ke titik lain melalui salah satu dari tiga metode yakni konduksi, konveksi dan radiasi.

#### 2.8.1 Perpindahan Panas Konduksi

Konduksi adalah perpindahan panas dimana panas mengalir dari daerah bersuhu tinggi ke daerah yang bersuhu lebih rendah didalam satu medium

( padat, cair, atau gas ) atau antara medium – medium yang berlainan yang bersinggungansecara langsung. Perpindahan panas konduksi dapat ditulis dengan persamaan di bawah ini :

$$q = -KA \frac{\delta T}{\delta x}$$

Dimana:

q : laju perpindahan kalor ( Btu/h atau W )

k : konduktivitas termal ( Btu/h.ft.°F)

A : luas bidang tempat berlangsungnya perpindahan kalor ( ft² atau m² )

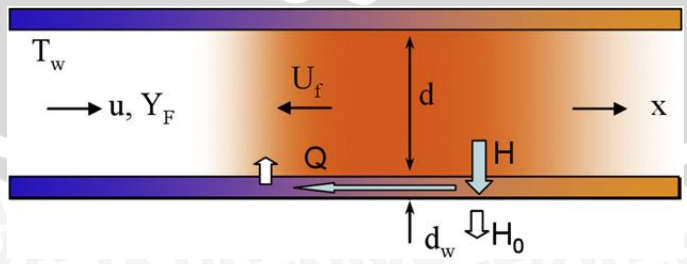
 $\frac{\delta T}{\delta x}$  :gradien atau landaian suhu ( Temperatur gradient ) dalam arah perpindahan kalor ( °F/ft atau °C/m )

Dua unsur pokok yang menentukan perpindahan panas pada sambungan :

- 1) Konduksi antara zat padat dengan zat padat pada titik singgung
- 2) Konduksi melalui gas yang terkurung pada ruang kosong yang terbentuk pada persinggungan permukaan tidak halus.

# 2.8.2 Heat Loss Management pada Meso-Scale Combustor

Micro- dan meso-scale combustor mempunyai perbandingan permukaan terhadap volume yang relatif tinggi, menghasilkan laju heat loss yang tinggi bila dibandingkan terhadap laju permbangkitan kalor volumetric, yang mengakibatkan pemadaman api. Gambar 2.10 menunjukkan skema heat loss dan heat recirculation dalam micro- dan meso-scale combustor (Maruta, 2011).



Gambar 2.10 Skema perpindahan panas dari nyala api melalui dinding *combustor* ke campuran udara-bahan bakar dan ke lingkungan.

Ruang bakar (combustor) berbentuk pipa dengan diameter dalam d dan diameter luar  $d_w$ . Campuran bahan bakar dan udara masuk ke daerah reaksi pembakaran dengan kecepatan u dan fraksi bahan bakar  $Y_F$ . Pembakaran terjadi

di daerah reaksi pembakaran, menghasilkan kalor sebesar Q dan *flame* bergerak dengan kecepatan U<sub>f</sub>. gas hasil pembakaran dibuang ke lingkungan, dinyatakan dengan x. Heat loss dari flame (nyala api) dinyatakan dengan H. Sebagian dari heat loss (H<sub>0</sub>), dikonveksikan ke lingkungan, menyatakan fraksi kalor yang hilang dan cenderung mengakibatkan terjadinya flame quenching. Sisanya, sebesar O, dikonduksikan kearah upstream melalui dinding ruang bakar dan digunakan untuk memanasi reaktan (campuran udara-bahan bakar). Pemanasan awal bahan bakar akan meningkatkan kestabilan pembakaran dan mencegah terjadinya flame quenching.

Bila u = U<sub>f</sub>, maka akan menghasilkan pembakaran stabil pada posisi/titik tertentu dalam ruang bakar. Bila u > U<sub>f</sub>, api akan mengalami blow off, sebaliknya bila u < U<sub>f</sub>, api akan bergerak ke dalam *combustor* dan akhirnya padam. Phenomena yang disebutkan terakhir disebut *flash back*.

Kestabilan api dapat dicapai bila kecepatan reaktan u dan kecepatan flame U<sub>f</sub>, mempunyai besar yang relatif sama. Kecepatan flame U<sub>f</sub> dipengaruhi oleh beberapa parameter seperti equivalen rasio, temperatur pembakaran, temperatur reaktan, jenis bahan bakar dan lain-lain. Semakin tinggi temperatur reaktan, kecepatan flame U<sub>f</sub> akan semakin besar. Manajemen heat loss dilakukan untuk memaksimalkan fraksi kalor yang dikonduksikan kearah upstream untuk pemanasan awal reaktan (H<sub>0</sub>/H) dan meminimalkan fraksi kalor yang hilang ke lingkungan (Q/H).

# 2.9 Hipotesis

Semakin tinggi konduktivitas termal dinding combustor akan mempengaruhi mempengaruhi besarnya heat recirculation, dengan meningkatnya heat circulation maka diharapkan akan didapatkan pembakaran yang stabil dan semakin luasnya daerah flammability limit pada pembakaran dalam meso-sccale combustor.

# BRAWIJAY

# BAB III METODOLOGI PENELITIAN

#### 3.1 Metode Penelitian

Metode penelitian yang digunakan dalam penelitian ini adalah metode penelitian eksperimental nyata (*true experimental research*) yang langsung digunakan pada objek yang diteliti. Pada objek yang diteliti akan didapatkan data-data yang kemudian di plot dalam suatu bentuk diagram sehingga membentuk suatu pola kecenderungan tertentu yang nantinya dapat dibandingkan dan diambil suatu kesimpulan tentang objek yang diteliti tersebut.

# 3.2 Tempat dan waktu pelaksaan

Penelitian ini dilakukan pada bulan Oktober 2012 sampai dengan selesai, bertempat di Laboratorium Motor Bakar Jurusan Mesin Fakultas Teknik Universitas Brawijaya Malang.

#### 3.3 Variable Penelitian

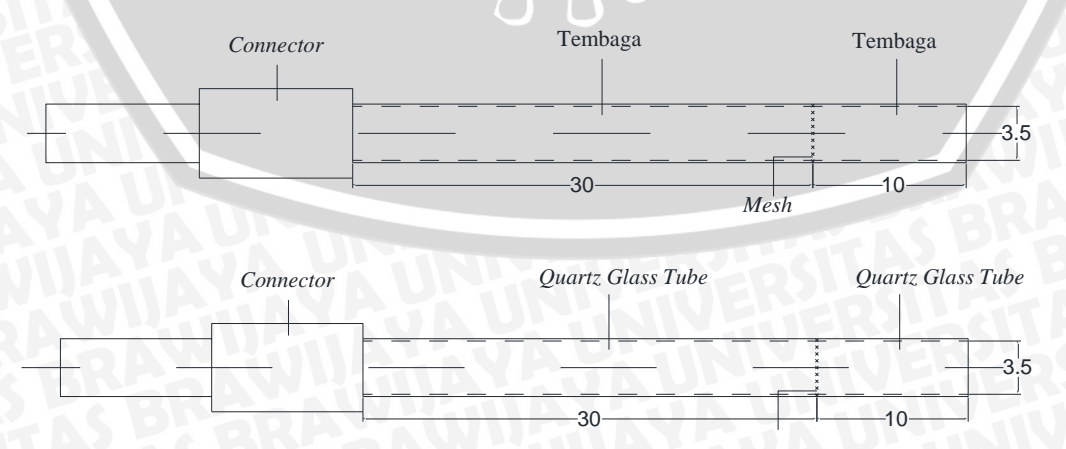
Variabel-variabel yang digunakan dalam penelitian ini antara lain:

1. Variabel bebas (*independent variable*)

Variabel bebas adalah variabel yang besarnya ditentukan sendiri oleh peneliti dan tidak dipengaruhi oleh variabel lain.

Adapun yang merupakan variabel bebas dalam penelitian ini adalah:

- Konduktivitas termal material *combustor* yang terbuat dari: *quartz glass tube*, *stainless steel*, tembaga.



Gambar 3.1 *Meso-Scale Combustor* dengan tiga material dan konduktivitas termal yang berbeda

# 2. Variabel terikat (dependent variable)

Variabel terikat adalah variabel yang besarnya tergantung dari variabel bebas dan besarnya dapat diketahui setelah penelitian dilakukan. Adapun variabel terikat dalam penelitian ini yaitu :

- Visualisasi nyala api
- Batas kestabilan api dan flammability limit

#### 3. Variabel terkontrol

Parameter yang dijaga tetap atau besarnya dapat ditambah sesuai keinginan peneliti. Variabel terkontrol dalam penelitian ini adalah kecepatan bahan bakar dan kecepatan udara.

#### 3.4 Peralatan Penelitian

Untuk mengetahui pengaruh variabel bebas terhadap variabel terikat, dilakukan penelitian dengan peralatan sebagai berikut:

#### 1) Meso-scale combustor

Meso scale-combustor dibuat dari material quartz glass tube (yang tahan temperatur tinggi), stainless steel, dan tembaga dengan ukuran diameter dalam 3,5 mm. Konduktivitas termal material tersebut bertuturut-turut sebesar 1.3; 36 dan 365 W/ (m.K).

#### 2) Wire mesh

Wire mesh mempunyai fungsi sebagai flame holder dan meningkatkan heat recirculation ke reaktan yang belum terbakar. Wire mesh terbuat dari stainless steel dengan spesifikasi 60 mesh/inch.



Gambar 3.2 Wire mesh dalam meso-scale combustor Sumber: Dokumen pribadi

# 3) Kompresor

mengkompresi (oksidator) Alat ini digunakan untuk udara mengalirkannya menuju Y-mixer untuk dicampur dengan bahan bakar, kemudian mengalir ke meso-scale combustor.



Gambar 3.3 Kompresor udara. Sumber: Dokumen pribadi

# 4) Heat resistant adhesive

Digunakan untuk menyambung/ menghubungkan bagian-bagian meso-scale combustor.

# 5) Combustor holder

Digunakan sebagai penyangga combustor.



Gambar 3.4 Combustor holder Sumber: DokumenPribadi

Digunakan untuk meghambat *heat loss* kelingkungan atau sebagai isolasi panas



Gambar 3.5 *Glass wool* Sumber : Dokumen pribadi

7) Bahan bakar + tangki bahan bakar.

Digunakan bahan bakar LPG (Liquid Petroleum Gas).



Gambar 3.6 *Liquid petroleum gas* (LPG). Sumber : Dokumen pribadi

8) Ignitor

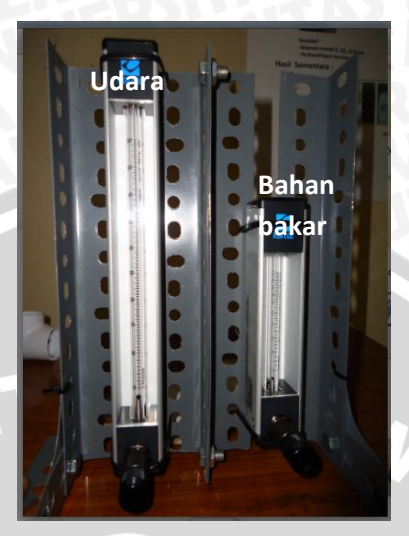
Alat ini digunakan untuk menyalakan api.



Gambar 3.7 *Ignitor* Sumber : Dokumen pribadi

# 9) Flow meter bahan bakar dan udara

Flow meter digunakan untuk mengukur debit aliran bahan bakar dan udara ke ruang bakar, dengan satuan mL/menit.



Gambar 3.8 Flow meter udara dan bahan bakar.

Sumber: dokumen pribadi

# 10) Pressure meter bahan bakar dan udara

Alat ini digunakan untuk mengukur dan mengatur tekanan LPG dan udara.



Gambar 3.9 *Pressure meter* LPG. Sumber: Dokumen pribadi

# 11) Kamera

Alat ini digunakan untuk mengambil atau merekam gambar api hasil pembakaran yang terjadi sehingga dapat digunakan untuk analisa visual. Dengan data spesifikasi sebagai berikut:

a. Merk: Sony Alpha-300

b. Lensa: DT30 mm F2.8 Macro

c. ISO range: Auto, 100 - 3200





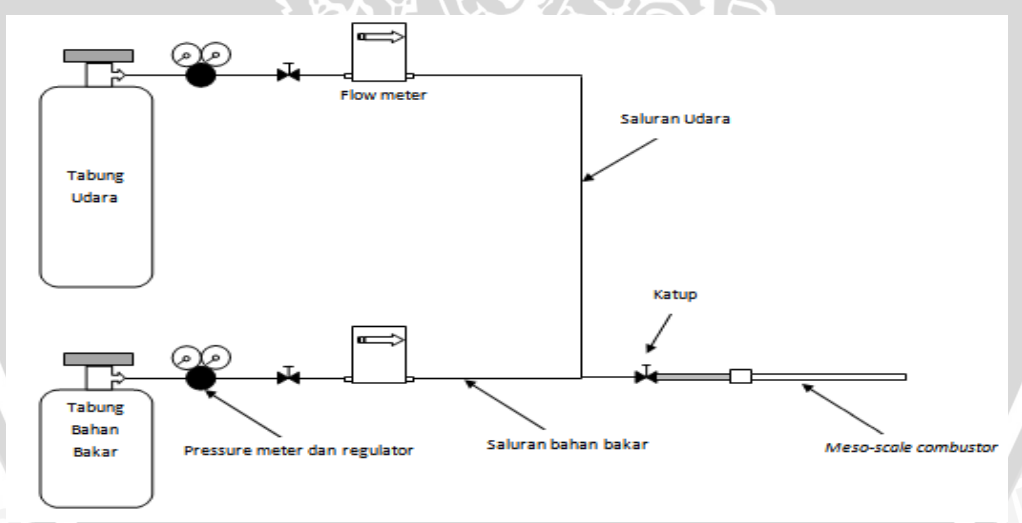
Gambar 3.10 Kamera dan lensa makro. Sumber: Dokumen pribadi

#### 12) Computer note book

Komputer digunakan untuk mengolah, menyimpan dan menampilkan data hasil pengukuran dan pengambilan data.

# 3.5 Susunan Instalasi penelitian

Peralatan penelitian dirangkai menjadi sebuah instalasi penelitian seperti ditunjukkan pada Gambar . Meso-scale combustor terbuat dari beberapa konfigurasi material dan gambar detailnya ditunjukkan pada Gambar.



Gambar 3.11 Susunan instalasi penelitian

# 3.6 Metode Pengambilan Data

Bahan bakar dan udara di alirkan ke ruang bakar dari tangki bahan bakar dan tangki udara. Debit bahan bakar dan udara masing-masing diatur dan besarnya debit diukur dengan rotameter. Kestabilan api dan flammability limit diperoleh dari pengamatan terjadinya flash back dan blow-off pada kecepatan reaktan yang berbeda. Pengukuran temperatur api dilakukan pada pusat combustor pada

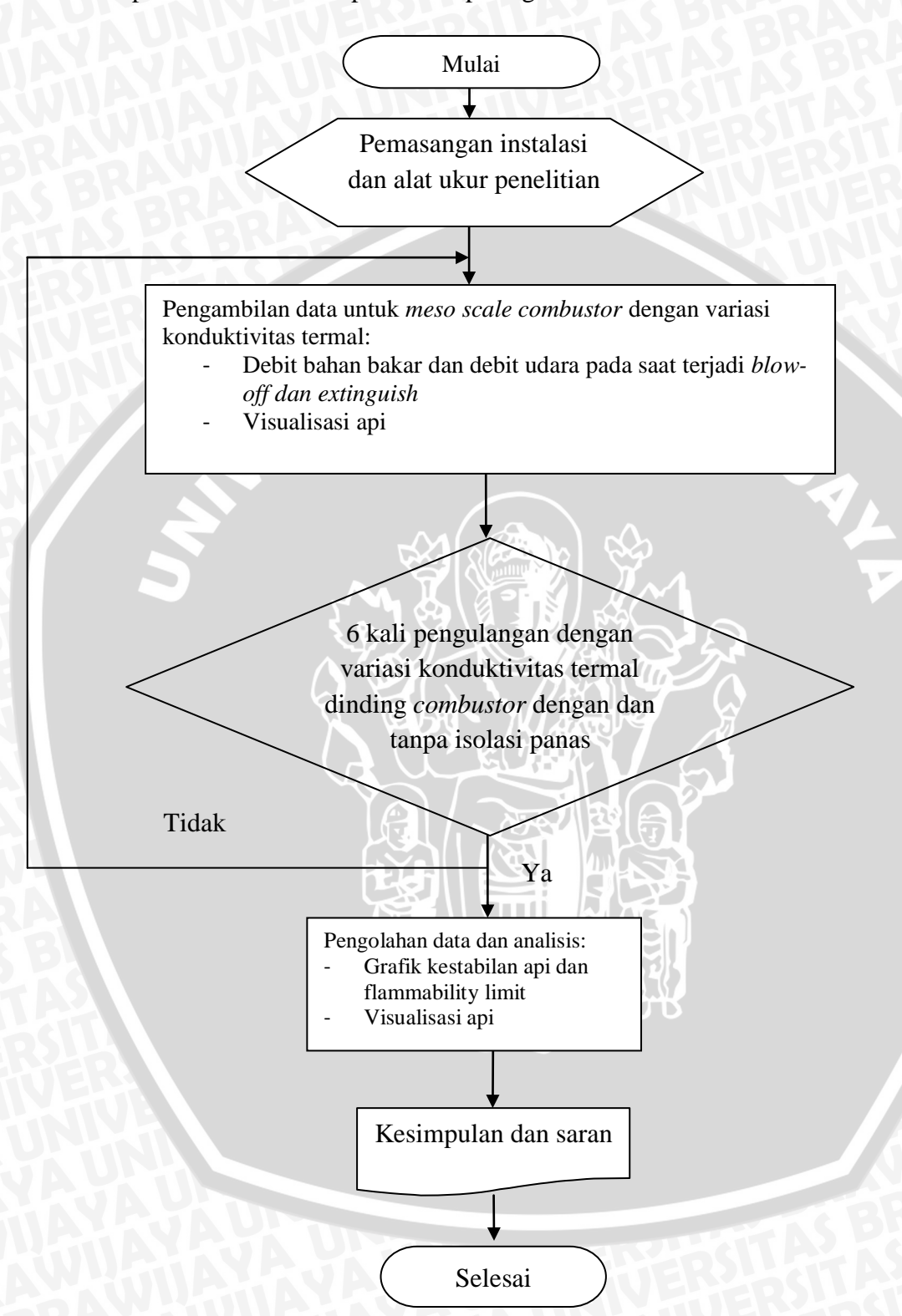
downstream wire mesh dengan jarak 1 mm dan temperatur dinding *combustor* diukur pada jarak 1 mm sebelum wire mesh.

Detail pengambilan data dijelaskan sebagai berikut:

- 1. Pasang meso-scale combustor yang terbuat dari quartz glass tube.
- 2. Aliran bahan bakar di set pada debit 3 ml/menit dan kecepatan udara di set sesuai dengan kondisi stoikiometri.
- 3. Nyalakan api hingga api menempel di wire *mesh*.
- 4. Kecepatan bahan bakar diturunkan secara bertahap hingga api mengalami *blow-off*. Ambil foto untuk setiap kecepatan bahan bakar.
- 5. Catat rasio ekuivalen ( $\Phi$ ) saat api mengalami *blow-off*.
- 6. Api dinyalakan kembali pada debit bahan bakar 3 ml/menit dalam keadaan stoikiometri, kemudian kecepatan bahan bakar dinaikan secara bertahap hingga terjadi api padam (*extinguish*). Ambil foto untuk setiap kecepatan bahan bakar.
- 7. Catat rasio ekuivalen ( $\Phi$ ) saat api padam.
- 8. Ulangi langkah no 2-7 untuk kecepatan bahan bakar yang lebih besar dengan perubahan debit  $\Delta Q = 0.5$  mL/menit sampai api tidak bisa distabilisasi dalam *meso-scale combustor*.
- 9. Mengulangi langkah no 2 8 untuk *meso-scale combustor* yang terbuat dari *stainless steel* dan tembaga
- 10. Mengulangi langkah no 2 8 untuk *meso-scale combustor* yang terbuat dari *stainless steel* dan tembaga dengan isolasi panas
- 11. Mengulangi langkah no 2 8 untuk *meso-scale combustor* pada *combustor* dengan isolasi panas ( dengan melapisi *glass wool* pada masing masing *combustor*)

# 3.7 Diagram Alir Penelitian

Alur penelitian kali ini dapat dilihat pada gambar 3.9 berikut:



Gambar 3.12 Diagram alir penelitian

#### **BAB VI**

#### ANALISA DAN PEMBAHASAN

#### 4.1 Data Hasil Penelitian dan Analisa Data

Dari hasil penelitian yang dilakukan pada pembakaran dalam *meso-scale combustor* dengan variasi konduktivitas termal dinding combutor diperoleh data yang akan dijelaskan dalam bentuk tabel. Dimana data tersebut merupakan data hasil penelitian tentang debit bahan bakar minimum dan maksimum dimana api stabil dalam *meso-scale combustor* untuk debit udara tertentu. Dalam diagram kestabilan api, setiap debit bahan bakar memiliki batas rasio ekuivalen (Φ) minimum dan maksimum atau dapat disebut *upper limit* dan *lower limit*. *Lower limit* adalah kondisi dimana api masih dapat distabilkan didalam *combustor* pada debit udara tertentu dan debit bahan bakar minimal, sedangkan *upper limit* adalah kondisi dimana api masih dapat distabilkan didalam *combustor* pada debit udara tertentu dan debit bahan bakar maksimal. Pengambilan data dilakukan dalam dua kondisi yang berbeda yaitu pengambilan data pada *combustor* dengan isolasi panas dan pada *combustor* tanpa isolasi panas. Semua data hasil penelitian dan perhitungan, baik pada *combustor* dengan isolasi panas maupun *combustor* tanpa isolasi panas dapat dilihat pada tabel 4.1 – 4.6.

Tabel 4.1 Debit bahan bakar dan udara dimana api dapat menyala dalam *meso-scale* combustor quartz glass tube tanpa isolasi panas.

No.	Q <sub>udara</sub> (mL/menit)	Q <sub>bb min</sub> (mL/menit)	Q <sub>bb max</sub> (mL/menit)	V <sub>total min</sub> (cm/detik)	V <sub>total max</sub> (cm/detik)	$\Phi_{Lower}$	$\Phi_{Upper}$
1	80,82	3,14	4,17	14,55	14,73	1,01	1,34
2	96,04	3,73	5,06	17,29	17,52	1,01	1,37
3	111,76	3,88	5,68	20,04	20,35	0,90	1,32
4	127,98	4,02	6,32	22,90	23,28	0,85	1,28
5	144,7	4,17	7,87	25,83	26,44	0,77	1,41
6	161,92	4,61	8,60	28,89	29,55	0,76	1,38
7	179,64	4,91	9,17	32,01	32,72	0,73	1,32
8	197,86	5,36	10,14	35,25	36,05	0,72	1,33
9	216,58	5,99	10,33	38,60	39,33	0,74	1,24
10	235,8	6,65	10,73	41,96	42,73	0,69	1,18
11	255,52	7,69	10,93	45,68	46,18	0,82	1,11
12	275,74	8,52	11,52	49,31	49,79	0,83	1,08
13	296,46	9,55	11,72	53,04	53,41	0,84	1,03

Tabel 4.2 Debit bahan bakar dan udara dimana api dapat menyala dalam *meso-scale combustor quartz glass tube* dengan isolasi panas.

No.	Q <sub>udara</sub> (mL/menit)	Q <sub>bb min</sub> (mL/menit)	Q <sub>bb max</sub> (mL/menit)	V <sub>total min</sub> (cm/detik)	V <sub>total max</sub> (cm/detik)	$\Phi_{Lower}$	$\Phi_{Upper}$
1	80,82	2,99	4,47	14,53	14,78	0,96	1,43
2	96,04	3,59	5,21	17,27	17,55	0,97	1,41
3	111,76	3,73	5,83	20,02	20,38	0,87	1,35
4	127,98	3,88	6,99	22,85	23,39	0,79	1,42
5	144,7	4,17	8,42	25,80	26,54	0,75	1,51
6	161,92	4,61	9,17	28,86	29,65	0,74	1,47
7	179,64	4,91	9,75	31,99	32,82	0,71	1,41
8	197,86	5,21	10,33	35,20	36,08	0,68	1,35
9	216,58	5,99	10,73	38,58	39,40	0,72	1,29
10	235,8	6,15	11,12	41,93	42,80	0,68	1,22
11	255,52	7,51	11,72	45,59	46,32	0,76	1,19
12	275,74	8,23	12,11	49,22	49,89	0,77	1,14
13	296,46	8,98	12,50	52,94	53,55	0,79	1,09
14	317,68	9,75	13,84	56,75	57,46	0,80	1,13
15	339,4	10,53	14,03	60,65	61,26	0,80	1,07

Tabel 4.3 Debit bahan bakar dan udara dimana api dapat menyala dalam *meso-scale combustor stainless steel* tanpa isolasi panas.

No.	Q <sub>udara</sub> (mL/menit)	Q <sub>bb min</sub> (mL/menit)	Q <sub>bb max</sub> (mL/menit)	V <sub>total min</sub> (cm/detik)	V <sub>total max</sub> (cm/detik)	$\Phi_{Lower}$	$\Phi_{Upper}$
1	80,82	3,142	4,32	14,55	14,76	1,009	1,39
2	96,04	3,735	5,21	17,29	17,55	1,009	1,41
3	111,76	3,881	5,83	20,04	20,38	0,901	1,35
4	127,98	4,027	6,48	22,88	23,30	0,816	1,31
5	144,7	4,173	8,05	25,80	26,47	0,748	1,44
6	161,92	4,613	8,79	28,86	29,59	0,739	1,41
7	179,64	4,910	9,36	31,99	32,76	0,709	1,35
8	197,86	5,365	10,14	35,22	36,05	0,703	1,33
9	216,58	5,992	10,53	38,58	39,36	0,718	1,26
10	235,8	6,648	10,93	42,02	42,76	0,731	1,20
11	255,52	7,687	11,32	45,62	46,25	0,780	1,15
12	275,74	8,528	11,91	49,27	49,86	0,802	1,12
13	296,46	9,554	12,11	53,04	53,48	0,836	1,06
14	317,68	9,943	12,31	56,78	57,19	0,812	1,00

Tabel 4.4 Debit bahan bakar dan udara dimana api dapat menyala dalam meso-scale combustor stainless steel dengan isolasi panas.

No.	Q <sub>udara</sub> (mL/menit)	Q <sub>bb min</sub> (mL/menit)	Q <sub>bb max</sub> (mL/menit)	V <sub>total min</sub> (cm/detik)	V <sub>total max</sub> (cm/detik)	$\Phi_{Lower}$	$\Phi_{Upper}$
1	80,82	2,59	3,14	12,41	12,50	0,97	1,18
2	96,04	2,99	4,32	14,53	14,76	0,96	1,39
3	111,76	3,44	5,36	17,24	17,58	0,93	1,45
4	127,98	3,59	6,15	19,99	20,44	0,83	1,43
5	144,7	3,73	6,99	22,83	23,39	0,76	1,42
6	161,92	3,88	8,23	25,75	26,51	0,70	1,48
7	179,64	4,32	8,98	28,81	29,62	0,69	1,44
8	197,86	4,61	9,75	31,93	32,82	0,67	1,41
9	216,58	5,06	10,53	35,17	36,12	0,66	1,38
10	235,8	5,52	10,93	38,49	39,43	0,66	1,31
11	255,52	5,99	11,32	41,91	42,83	0,66	1,25
12	275,74	6,65	11,91	45,44	46,35	0,67	1,21
13	296,46	7,69	12,31	49,12	49,92	0,72	1,16
14	317,68	8,79	13,08	52,91	53,65	0,77	1,14
15	339,4	9,55	13,46	56,72	57,39	0,78	1,10
16	361,62	10,73	13,84	60,68	61,22	0,82	1,06
17	384,34	11,91	14,57	64,74	65,20	0,85	1,05

Tabel 4.5 Debit bahan bakar dan udara dimana api dapat menyala dalam meso-scale combustor tembaga tanpa isolasi panas.

No.	Q <sub>udara</sub> (mL/menit)	Q <sub>bb min</sub> (mL/menit)	Q <sub>bb max</sub> (mL/menit)	V <sub>total min</sub> (cm/detik)	V <sub>total max</sub> (cm/detik)	$\Phi_{Lower}$	$\Phi_{Upper}$
1	80,82	3,59	3,88	14,63	14,68	1,15	1,25
2	96,04	3,88	4,91	17,32	17,50	1,05	1,33
3	111,76	4,32	5,83	20,12	20,38	1,00	1,35
4	127,98	4,47	7,16	22,96	23,42	0,91	1,45
5	144,7	4,61	8,23	25,88	26,51	0,83	1,48
6	161,92	4,47	9,17	28,84	29,65	0,72	1,47
7	179,64	4,76	9,94	31,96	32,86	0,69	1,44
8	197,86	5,06	10,73	35,17	36,15	0,66	1,41
9	216,58	5,52	11,32	38,49	39,50	0,66	1,36
10	235,8	5,83	11,72	41,88	42,90	0,64	1,29
11	255,52	6,99	13,08	45,50	46,55	0,71	1,33
12	275,74	8,23	14,03	49,22	50,22	0,77	1,32
13	296,46	8,79	15,10	52,91	54,00	0,77	1,32
14	317,68	9,75	15,61	56,75	57,76	0,80	1,27
15	339,4	10,33	16,25	60,62	61,64	0,79	1,24
16	361,62	10,73	16,85	64,53	65,60	0,77	1,21
17	384,34	11,32	18,19	68,58	69,77	0,76	1,23

Tabel 4.6 Debit bahan bakar dan udara dimana api dapat menyala dalam meso-scale combustor tembaga dengan isolasi panas.

No.	Q <sub>udara</sub> (mL/menit)	Q <sub>bb min</sub> (mL/menit)	Q <sub>bb max</sub> (mL/menit)	V <sub>total min</sub> (cm/detik)	V <sub>total max</sub> (cm/detik)	$\Phi_{Lower}$	$\Phi_{Upper}$
1	80,82	3,44	4,03	14,60	14,71	1,10	1,29
2	96,04	4,17	5,21	17,37	17,55	1,13	1,41
3	111,76	4,17	6,48	20,09	20,49	0,97	1,50
4	127,98	4,32	7,87	22,93	23,54	0,88	1,59
5	144,7	3,97	9,17	25,77	26,67	0,71	1,64
6	161,92	4,32	9,94	28,81	29,79	0,69	1,59
7	179,64	4,61	10,33	31,93	32,93	0,67	1,49
8	197,86	4,91	10,93	35,14	36,19	0,64	1,43
9	216,58	5,06	11,72	38,41	39,57	0,61	1,40
10	235,8	5,36	12,50	41,80	43,04	0,59	1,38
11	255,52	5,52	14,03	45,24	46,72	0,56	1,42
12	275,74	5,99	15,27	48,83	50,44	0,56	1,44
13	296,46	6,82	15,77	52,56	54,12	0,60	1,38
14	317,68	7,51	16,25	56,36	57,88	0,61	1,33
15	339,4	8,42	17,28	60,28	61,82	0,64	1,32
16	361,62	8,98	18,19	64,23	65,83	0,64	1,30
17	384,34	10,33	18,90	68,40	69,89	0,70	1,28

Dalam proses pengambilan data terdapat suatu kondisi yang memungkinkan api masih dapat stabil didalam *combustor*, tetapi data tidak bisa diambil karena keterbatasan flow meter membaca debit udara. Flow meter hanya dapat membaca debit udara sampai 384.34mL/menit saja. Sehingga dalam proses pengambilan data pada combustor tembaga dengan ataupun tanpa isolasi panas dan pada combustor stainless steel dengan isolasi panas yang sebenarnya api masih mungkin dapat stabil pada kecepatan reaktan yang lebih besar, tetapi data tidak bisa diambil karena flow meter tidak mampu membaca debit udara lebih dati 384.34mL/menit.

# 4.2 Perhitungan

## 1.Pembakaran Stoikiometri

Pembakaran stoikiometri adalah pembakaran yang terjadi apabilla seluruh unsur C yang bereaksi dengan oksigen hanya akan menghasilkan CO2, seluruh unsur H menghasilkan H<sub>2</sub>O dan seluruh unsur S menghasilkan SO<sub>2</sub>. Parameter yang sering digunakan untuk menghitung jumlah udara dan bahan bakar pada prose pembakaran tertentu adalah rasio udara-bahan bakar atau AFR (Air Fuel Ratio). AFR atau rasio udara-bahan bakar adalah rasio jumlah udara di dalam sebuah reaksi terhadap jumlah bahan bakar. Rasio ini dapat dituliskan dengan basis molar ( mol udara dibagi dengan

BRAWIJAYA

mol bahan bakar) atau dengan basis massa (massa udara dibagi dengan massa bahan bakar). Dalam penelitian ini bahan bakar yang digunakan ialah LPG sehingga untuk menghitung AFR stoikiometri dari bahan bakar LPG dan udara maka terlebih dahulu kita harus menyeimbangkan persamaan kimia dari reaktan dan produk sebagai berikut:

- Kandungan bahan bakar LPG terdiri dari 70% propana (C<sub>3</sub>H<sub>8</sub>) dan 30% butana (C<sub>4</sub>H<sub>10</sub>).
- Oxydizer yakni udara yang terdiri dari 79% nitrogen (N2) dan 21% oksigen (O<sub>2</sub>) berdasarkan prosentase volume dalam udara kering.

Sehingga didapat persamaan reaksi antara bahan bakar (LPG) dan udara sebagai berikut:

$$0.7 \ C_3 H_{8(g)} + 0.3 \ C_4 H_{10(g)} + 5.45 \ (O_2 + 3,76 \ N_2) \ _{(g)} \blacktriangleright \quad 3.3 \ CO_{2(g)} + 4.3 \ H_2 O_{(g)} + 20.492 \ N_{2(g)}$$

Berdasarkan persamaan diatas maka reaksi yang terjadi antara bahan bakar LPG (0.7 mol propana dan 0.3 butana) dan udara (5.45 mol  $O_2$  dan 20.492 mol  $N_2$ ). menghasilkan 3.3 mol karbondioksida, 4.3 mol hidrogen dan 20.492 mol nitrogen.

Dari persamaan kimia diatas dapat dihitung AFR stoikiometri antara bahan bakar (LPG) dan udara berdasarkan perbandingan mol sebagai berikut:

AFR = 
$$\frac{N_{air}}{N_{fuel}}$$
  
=  $\frac{5,45(1+3,76)}{(0,7+0,3)}$   
=  $\frac{25,942}{1}$   
=  $25,942 \frac{mol\ udara}{mol\ bahan\ bakar}$ 

Menurut hukum Avogadro, gas-gas yang memiliki volume yang sama, pada temperatur dan tekanan yang sama, memiliki jumlah partikel (jumlah mol) yang sama pula. Sehingga perbandingan volume udara dan LPG untuk campuran stoikiometri adalah:

$$AFR = \frac{25,942}{1} \frac{volume\ udara}{volume\ ba\ han\ bakar}$$

Dari persamaan reaksi kimia antara bahan bakar LPG dan udara juga dapat dihitung AFR berdasarkan perbandingan massa.

• Massa udara = 
$$n \times Mr$$
  
=  $5.45(Mr O_2 + Mr 3.76N_2)$   
=  $5.45[32 + (3.76 \times 28)]$   
=  $5.45(137.176)$   
=  $748.176 \text{ gr.}$ 

• Massa bahan bakar = n x Mr  
= 
$$0.7(Mr C_3H_8) + 0.3(Mr C_4H_{10})$$
  
=  $[0.7(36 + 8)] + [0.3(48 + 10)]$   
=  $30.8 + 17.4$   
=  $48.2 \text{ gr.}$ 

Dengan diketahuinya massa dari bahan bakar (LPG) dan massa udara maka kita dapat menghitung volume dari bahan bakar (LPG) dan udara berdasarkan densitasnya yang nantinya akan digunakan sebagai perhitungan AFR berdasarkan perbandingan volume.

## Diketahui:

- Massa jenis udara pada 27° C adalah 0,0012 gr/cm<sup>3</sup>.
- Massa jenis propana 0,00183 gr/cm<sup>3</sup>.
- Massa jenis butana 0.00248 gr/cm<sup>3</sup>.
- Massa jenis LPG (70% propana dan 30% butana) adalah 0,002024 gr/cm<sup>3</sup>.

Berdasarkan data yang diketahui diatas maka dengan persamaan  $\rho=\frac{m}{V}$  kita dapat menghitung volume menggunakan persamaan  $V=\frac{m}{\rho}$ .

• Vudara = 
$$\frac{m}{\rho}$$
  
=  $\frac{748,176}{0,0012}$   
= 623.480 cm<sup>3</sup>

• Vbahan bakar = 
$$\frac{m}{\rho}$$
 =  $\frac{48,2}{0.002024}$  = 23.814,23 cm<sup>3</sup>

Sehingga perbandingan volume antara bahan bakar dan udara dapat dituliskan sebagai berikut:

ullet  $V_{udara}$  :  $V_{bahanbakar}$ 

 $623.480 \,\mathrm{cm}^3$  :  $23.814.23 \,\mathrm{cm}^3$ 

26,18 :

Perbandingan volume udara dan bahan bakar berdasarkan perbandingan mol adalah 25,942 : 1 sedangkan perbandingan volume udara dan bahan bakar berdasarkan perbandingan massa dan adalah 26,18 : 1 dari hasil perhitungan berdasarkan mol dan berdasarkan volume tedapat selisih nilai yang tidak begitu signifikan. Hal itu disebabkan karena kurangnya ketilitian pada saat menentukan nila densitas pada propana dan butana.

# 1.Perhitungan Rasio Ekuivalen

Contoh perhitungan rasio ekuivalen dilakukan untuk parameter yang diketahui pada tabel 4.1 no.2 untuk *combustor quartz glass tube* tanpa isolasi panas.

Berikut merupakan parameter-parameter pada *combustor quartz glass tube* dengan dan tanpa isolasi panas :

• Debit bahan bakar(Q<sub>bb min)</sub> 3,73mL/menit

• Debit bahan bakar(Q<sub>b max)</sub> .5,06mL/menit

• AFR<sub>stoikiometri</sub> (AFR<sub>stoic)</sub> : 26

Dari parameter-parameter yang diketahui diatas, maka dapat dilakukan peritungan sebagai berikut :

• AFR<sub>aktual</sub> (AFR<sub>act</sub>)

$$AFR_{act} = \frac{Q_{udr}}{Q_{bb}}$$

$$= \frac{96.04 \text{ mL/menit}}{3.734 \text{ mL/menit}}$$

$$= 25.720$$

BRAWIUNE

$$\Phi = \frac{AFR_{stoic}}{AFR_{act}}$$

$$= \frac{25,942}{25,720}$$

$$= 1.00764$$

• AFR<sub>aktual</sub> (AFR<sub>act</sub>)

$$AFR_{act} = \frac{Q_{udr}}{Q_{bb}}$$

$$= \frac{96.04 \text{ mL/menit}}{5,06 \text{mL/menit}}$$

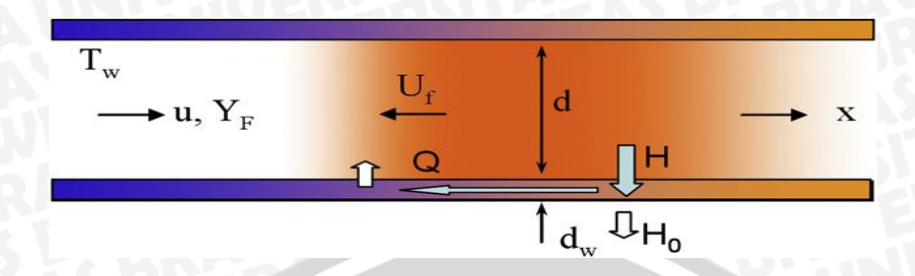
$$= 18.980$$

Rasio Ekuivalen

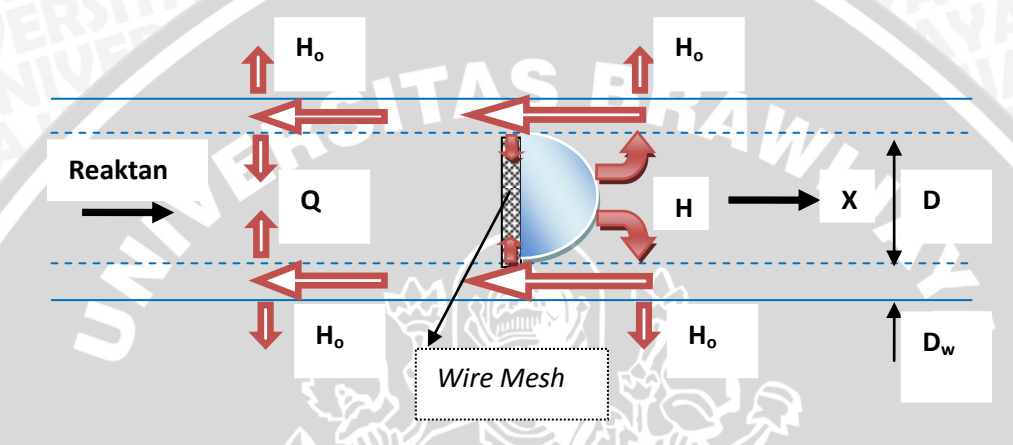
$$\Phi = \frac{AFR_{stoic}}{AFR_{act}} = \frac{25,942}{18.980} = 1.3668$$

## 4.3 Pembahasan

Pada penelitian ini diharapkan dapat mengetahui tentang pengaruh konduktivitas termal dinding combustor terhadap bentuk nyala api, stabilitas api dan flammability limit pada pembakaran dalam meso-scale combustor dengan wire mesh didalamnya. Dalam penelitian sebelumya yang dilakukan Mikami, et al, 2012 diamati kestabilan api. didalam meso-scale combustor yang terbuat dari quartz glass tube. Peneliti menyisipkan wire mesh yang terbuat dari bahan yang memiliki konduktivitas termal tinggi yaitu stainless steel untuk meningkatkan heat recirculation dalam combustor. Hasilnya didapatkan pembakaran yang stabil, karena wire mesh mempunyai peranan sebagai flame holder yang mengakibatkan terjadinya heat recirculation dari flame ke reaktan sehingga terjadi pembakaran yang stabil dalam meso-scale combustor. Dalam penelitian ini menggunakan tiga variasi konduktivitas termal dinding combustor diantaranya combustor quartz glass tube, combustor stainless steel dan combustor tembaga. Gambar 4.1 menjelaskan secara skematik perpindahan panas (heat loss dan heat recirculation) dalam meso-scale combustor serta peranan konduktivitas termal dinding combustor.



Gambar 4.1 Skematik perpindahan panas dalam meso-scale combustor tanpa wire mesh



Gambar 4.2 Skematik perpindahan panas dalam meso-scale combustor dengan wire *mesh* didalamnya

Gambar 4.1 menjelaskan bagaimana perpindahan panas yang terjadi pada pembakaran dalam meso-scale combustor tanpa wire mesh di dalamnya. Ruang bakar (combustor) berbentuk pipa dengan diameter dalam d dan diameter luar d<sub>w</sub>. Campuran bahan bakar dan udara masuk ke daerah reaksi pembakaran dengan kecepatan u dan fraksi bahan bakar Y<sub>F</sub>. Pembakaran terjadi di daerah reaksi pembakaran, *flame* bergerak dengan kecepatan U<sub>f</sub>. Gas hasil pembakaran dibuang ke lingkungan, mengandung energi yang besarnya dinyatakan dengan x. Heat loss dari flame (nyala api) ke dinding combustor dinyatakan dengan H. Sebagian dari heat loss (H<sub>0</sub>), dikonveksikan ke lingkungan, menyatakan fraksi kalor yang hilang dan cenderung mengakibatkan terjadinya flame quenching. Sisanya, sebesar Q, dikonduksikan kearah upstream melalui dinding ruang bakar dan digunakan untuk memanasi reaktan (campuran udarabahan bakar). Pemanasan awal bahan bakar akan meningkatkan kestabilan pembakaran dan mencegah terjadinya flame quenching.

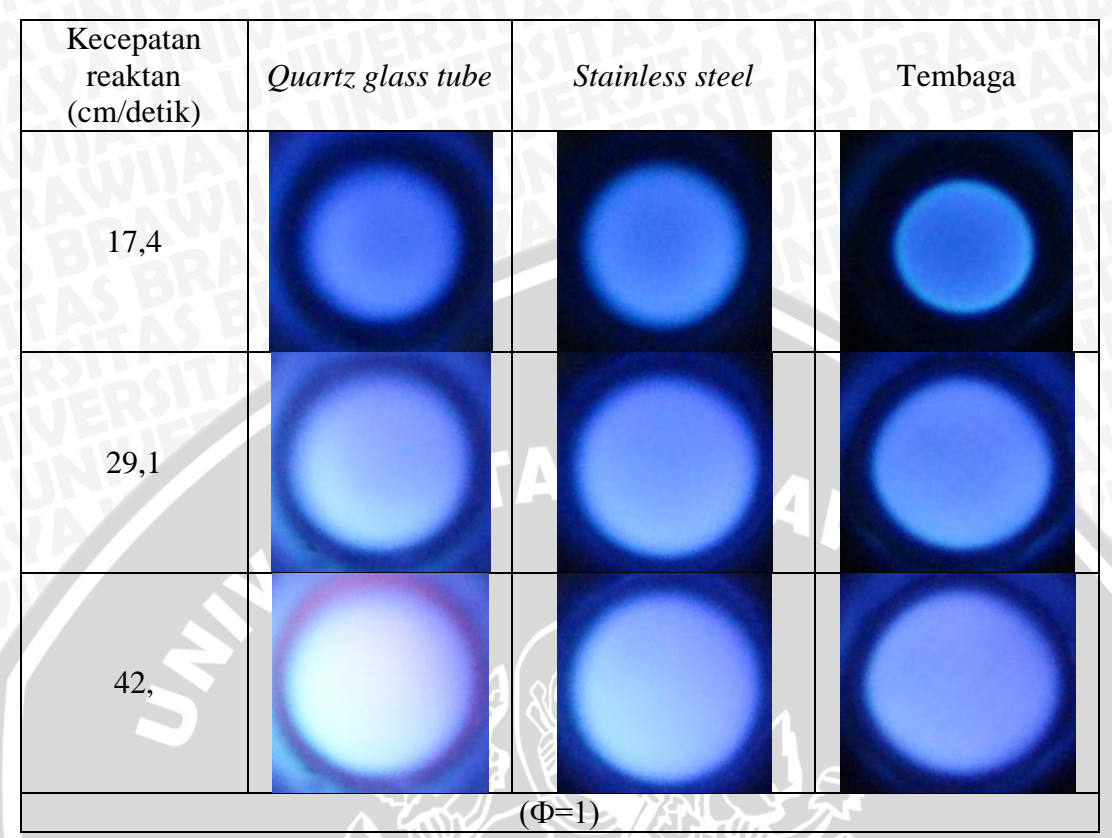
Bila u = U<sub>f</sub>, maka akan menghasilkan pembakaran stabil pada posisi/titik tertentu dalam ruang bakar. Bila u > Uf, api akan mengalami blow off, sebaliknya bila u <  $U_f$ , api akan bergerak ke dalam combustor dan akhirnya padam. Phenomena yang disebutkan terakhir disebut  $flash\ back$ . Kestabilan api dapat dicapai bila kecepatan reaktan u dan kecepatan  $flame\ U_f$ , mempunyai besar yang relatif sama. Kecepatan  $flame\ U_f$  dipengaruhi oleh beberapa parameter seperti equivalen rasio, temperatur pembakaran, temperatur reaktan, jenis bahan bakar dan lain-lain. Semakin tinggi temperatur reaktan, kecepatan flame  $U_f$  akan semakin besar.

Sedangkan pada Gambar 4.2 menjelaskan bagaimana perpindahan panas yang terjadi pada pembakaran dalam *meso-scale combustor* dengan *wire mesh* di dalamnya. Seperti halnya pada Gambar 4.1 hanya saja pada Gambar 4.2 terdapat *wire mesh* di dalamnya. D menyatakan diameter dalam *combustor*, Dw menyatakan diameter luar *combustor*. Sebagian energi yang dihasilkan dari proses pembakaran yang ikut terbuang bersama gas buang dinyatakan dengan X, sedangkan H menyatakan *heat loss* yang terjadi dari api ke dinding *combustor* secara konveksi. Selanjutnya di koveksikan lagi ke lingkungan. Sebagian dari *heat loss* tersebut di konduksikan ke *wire mesh* dan ke arah *upstream* melalui dinding dinyatakan dengan Q. Panas yang dikonduksikan dari dinding *combustor* ke *wire mesh* dan panas yang dikonveksikan dari dinding combustor ke reaktan mempuyai peranan penting dalam proses pemanasan awal reaktan. Proses tersebut akan menghasilkan temperatur reaktan yang lebih tinggi yang dapat meningkatkan stabilitas pembakaran dalam *meso-scale combustor*.

# 4.3.1 Visualisasi Nyala Api

A. Visualisasi nyala api *meso-scale combustor* pada rasio ekuivalen  $\Phi$ =1, tanpa isolasi panas dengan variasi konduktivitas termal yang berbeda.

Gambar 4.1 menunjukan visualisasi nyala api didalam *meso-scale combustor* dengan variasi konduktivitas termal dinding *combustor* dimulai dengan *combustor* dengan konduktivitas termal rendah, sedang dan tinggi yakni *combustor quartz glass tube*, *stainless steel* dan tembaga. visualisasi nyala api didalam *meso-scale combustor* tersebut diambil pada keadaan stoikiometri atau pada rasio ekuivalen  $\Phi$ =1 dengan variasi kecepatan reaktan sebesar 17,4; 29,1 and 42,3 cm/detik. Dan gambar di tampilkan dengan 5x pembesaran.



Gambar 4.3 Visualisasi nyala api pada *meso-scale combustor* tanpa isolasi panas pada keadaan stoikiometri.

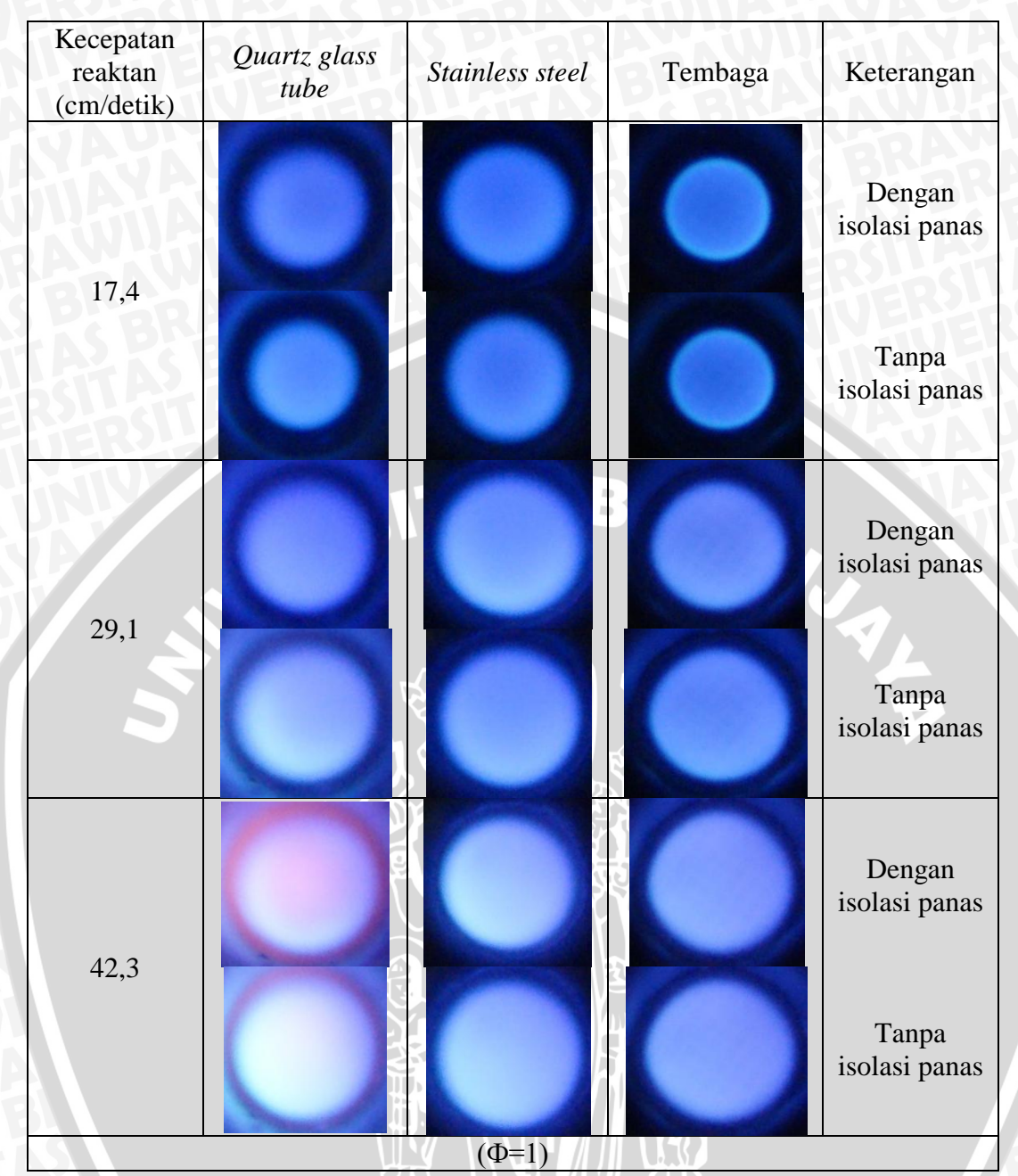
Pada Gambar 4.3 dapat dilihat bahwa warna api untuk masing-masing combustor sama yakni biru. Karena pada saat kondisi stoikiometri atau pada rasio ekuivalen  $\Phi$ =1 bahan bakar dapat terbakar sempurna, dimana warna biru ini dihasilkan dari emisi radical OH. Warna biru juga menunjukan tidak ada proses pembentukan jelaga yang dihasilkan dalam pembakaran meso-scale combustor. Kemudian warna api untuk kecepatan reaktan yang semakin besar pada masing-masing combustor juga memiliki kecenderungan yang sama yakni dengan bertambahnya kecepatan reaktan warna nyala api dalam meso-scale combustor terlihat semakin terang. Hal ini dikarenakan semakin tinggi kecepatan reaktan maka jumlah bahan bakar yang terbakar semakin banyak. Sehingga kalor yang dihasilkan dari proses pembakaran dan temperatur pembakaran semakin tinggi pula. Hal tersebut yang mengakibatkan nyala api dalam meso-scale combustor semakin terang. Pada combustor quartz glass tube warna nyala api untuk setiap penambahan kecepatan reaktan terlihat sedikit lebih terang dari pada nyala api pada combustor stainless steel dan combustor tembaga. Hal tersebut selain disebabkan oleh bertambahnya kalor dan temperatur yang dihasilkan dari proses pembakaran karena bertambahnya kecepatan reaktan, juga disebabkan karena quartz

BRAWIJAY

glass tube terbuat dari kaca sehingga nyala api terlihat semakin terang karena pantulan cahaya darii dinding combustor.

Pada Gambar 4.3 juga dapat dilihat luas penampang api untuk setiap penambahan kecepatan reaktan pada masing-masing *combustor*. Secara umum api dalam *combustor stainless steel* mempunyai luas penampang yang paling besar bila dibandingkan dengan api dalam *combustor quartz glass tube* dan tembaga, baik pada kecepatan reaktan yang rendah ataupun tinggi. Perbedaan luas penampang api terlihat jelas pada kecepatan reaktan yang lebih kecil dan perbedaan luas penampang semakin berkurang pada kecepatan reaktan yang lebih besar.

Gambar diatas juga menunjukan bahwa luas penampang api menjadi semakin besar dengan bertambahnya kecepatan reaktan. Pada kecepatan reaktan 17.4cm/detik combustor tembaga memiliki luas penampang paling kecil bila dibandingkan dengan luas penampang api pada combustor stainless steel dan combustor quartz glass tube. Hal ini di sebabkan oleh konduktivitas termal tembaga yang tinggi sehingga panas yang dihasilkan dari proses pembakaran banyak berkurang karena adanya perpindahan panas secara konveksi dari api ke dinding, yang selanjutnya di konveksikan ke lingkungan dan sebagian dikonduksikaan ke arah upstream untuk pemanasan awal reaktan. Hal ini menyebabkan terjadinya kehilangan kalor yang menyebabkan temperatur ruang bakar menjadi rendah. Fenomena tersebut mengakibatkan radical quenching yang semakin besar. Semakin besar radical quenching maka jarak antara api dengan dinding semakin besar dan luas penampang api menjadi semakin kecil. Radical quenching itu sendiri adalah berkurangnya jumlah radikal bebas karena bereaksi membentuk unsur yang stabil didaerah dekat dinding combustor. Pada kecepatan 29.1cm/detik dan 42.3cm/detik masing-masing juga menunjukkan perbedaan luas penampang api tetapi tidak begitu signifikan bila di bandingkan pada kecepatan reaktan 17.4cm/detik. Hal ini dikarenakan dengan semakin bertambahnya laju alir reaktan atau kecepatan reaktan maka panas dan temperatur yang di hasilkan pada proses pembakaran juga meningkat. Dengan meningkatnya temperatur serta panas yang dihasilkan pada proses pembakaran menyebabkan temperatur nyala api dan ruang bakar juga meningkat sehingga radical quenching semakin rendah yang mengakibatkan jarak api dengan dinding combustor menjadi semakin dekat. Dalam kondisi ini perbedaan luas penampang api dalam masing-masing combustor menjadi lebih kecil.



Gambar 4.4 Visualisasi nyala api pada *meso-scale combustor* pada keadaan stoikiometri dalm *combustor* dengan dan tanpa isolasi panas. Dengan 3x pembesaran.

Gambar 4.4 menunjukan perbedaan nyala api dan luas penampang api pada combustor dengan dan tanpa isolasi panas. Pada gambar 4.4 dapat dilihat warna nyala api pada masing-masing combustor baik combustor tanpa isolasi panas maupun combustor dengan isolasi panas memiliki warna yang sama yakni biru, tetapi terlihat semakin terang seiring dengan bertambahnya kecepatan reaktan. Seperti halnya pada Gambar 4.2 hal tersebut dikarenakan semakin tinggi kecepatan reaktan maka kalor yang dihasilkan dari proses pembakaran dan temperatur semakin tinggi pula. Pada kecepatan reaktan 42,3cm/detik dalam combustor quartz glass tube terlihat ada warna agak merah

pada nyala api. Hal ini mungkin dikarenakan pencahayaan atau proses pengambilan fotoyang kurang tepat.

Kemudian pada Gambar 4.4 juga terlihat bahwa luas penampang api pada combustor dengan isolasi panas sedikit lebih luas bila dibandingkan dengan combustor tanpa isolasi panas. Karena pada *combustor* dengan isolasi panas perpindahan panas secara konveksi dari dinding kelingkungan berkurang karena adanya isolasi. Sehingga dapat menghambat banyaknya panas yang hilang kelingkungan. Sehingga temperatur api dan dinding *combustor* menjadi lebiih tinggi dan juga nyala api lebih stabil serta penampang apinya menjadi lebih luas.

B. Visualisasi nyala api pada meso-scale combustor dengan konduktivitas termal yang berbeda tanpa isolasi panas dan variasi rasio ekuivalen.

Gambar 4.5 menunjukan visualisasi nyal api pada pembakaran dalam mesoscale combustor dengan konduktivitas termal dinding combustor yang berbeda tanpa isolasi panas dan variasi rasio ekuivalen  $\Phi=0.7$ ,  $\Phi=1$  dan  $\Phi=1.2$  pada kecepatan reaktan sekitar 29.1cm/detik. Dan gambar di tampilkan dengan 5x pembesaran

Φ	Quartz glass tube	Stainless steel	Tembaga		
Ф=0,7					
Ф=1					
Ф=1,2					

Gambar 4.5 Visualisasi nyala api pada meso-scale combustor dengan variasi rasio ekuivalen, tanpa isolasi panas

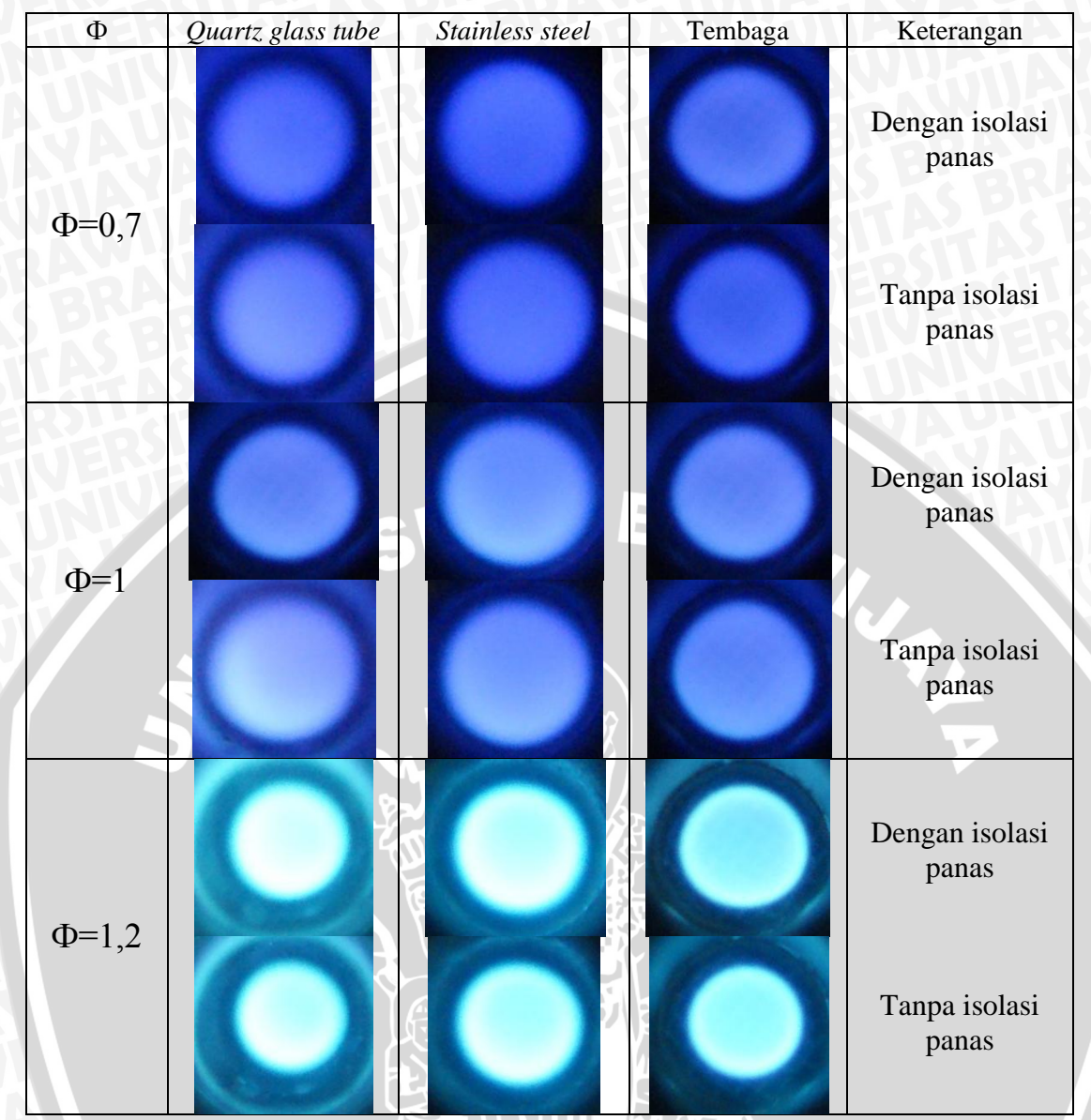
Gambar 4.5 menunjukan visualisasi warna api untuk rasio ekuivalen  $\Phi$ =0.7 dan  $\Phi$ =1 hampir sama yakni biru. Karena pada rasio ekuivalen  $\Phi$ =0.7 dan  $\Phi$ =1 bahan bakar dapat terbakar sempurna, tetapi pada rasio ekuivalen Φ=1 warna api terlihat sedikit

lebih terang. Hal ini terjadi karena pada jumlah debit udara yang sama bahan bakar pada rasio ekuivalen  $\Phi$ =1 lebih banyak daripada bahan bakar pada rasio ekuivalen  $\Phi$ =0.7, meski begitu pada kedua kondisi tersebut bahan bakar dapat terbakar sempurna. Hanya saja pada rasio ekuivalen  $\Phi$ =1 jumlah energi yang dihasilkan lebih besar sehingga mengakibatkan temperatur lebih tinggi, menyebabkan warna api pada rasio ekuivalen  $\Phi$ =1 menjadi lebih terang.

Pada Gambar 4.5 terlihat juga visualisasi warna nyala api dengan dengan debit udara yang sama tetapi pada campuran kaya yakni pada rasio ekuivalen  $\Phi$ =1.2 nyala api berwarna biru kehijauan dan juga luas penampang apinya menjadi lebih sempit. Hal teresebut disebabkan oleh adanya *radical quenching* dijelasan pada bagian sebelumnya bahwa *radical quenching* adalah berkurangnya jumlah radikal bebas karena membentuk unsur yang stabil didaerah dekat dinding, hal ini yang menyebabkan pemadaman api di daerah dekat dinding. Sehingga luas penampang api untuk masing-masing *combustor* pada campuran kaya menjadi kecil/sempit. Pada ekuivalen rasio  $\Phi$ =0.7 dan  $\Phi$ =1 wana nyala api yakni biru hal ini di sebabkan karena adanya emisi dari radical CH yang berwarna biru. Sedangkan pada campuran  $\Phi$ =1.2 nyala api berwarna biru kehijauan karena pada keadaan ini merupakan campuran kaya bahan bakar, sehingga tidak semua bahan bakar dapat terbakar sempurna karena kurangnya udara sebagai oksidator. Hal tersebut mengakibatkan munculnya molekul C2 yang menyebabkan warna api menjadi biru kehijauan.( *Turn*, 2000 :256).

Dapat dilihat pada gambar 4.5 bahwa luas penampang api pada rasio ekuivalen Φ=1.2 combustor tembaga memiliki luas penampang api paling sempit/terkecil bila dibandingkan dengan combustor quartz glass tube dan stainless steel. Hal itu disebabkan oleh konduktivitas termal pada combustor tembaga adalah yang paling tinggi diantara ketiga combustor. Sehingga, banyak panas yang dihasilkan oleh pembakaran pada combustor tembaga hilang karena perpindahan panas dalam jumlah besar kedinding combustor sebagai konsekuensi dari konduktivitas termal yang dimiliki oleh combustor tembaga.

Selanjutnya karena pada penelitian ini pengambilan data visualisasi nyala api diambil pada dua keadaan yang berbeda yakni pada kondisi *combustor* dengan isolasi panas dan pada *combustor* tanpa isolasi panas. Maka akan dibandingkan visualisai nyala api pada dua keadaan tersebut seperti ditunjukan pada Gambar 4.6.

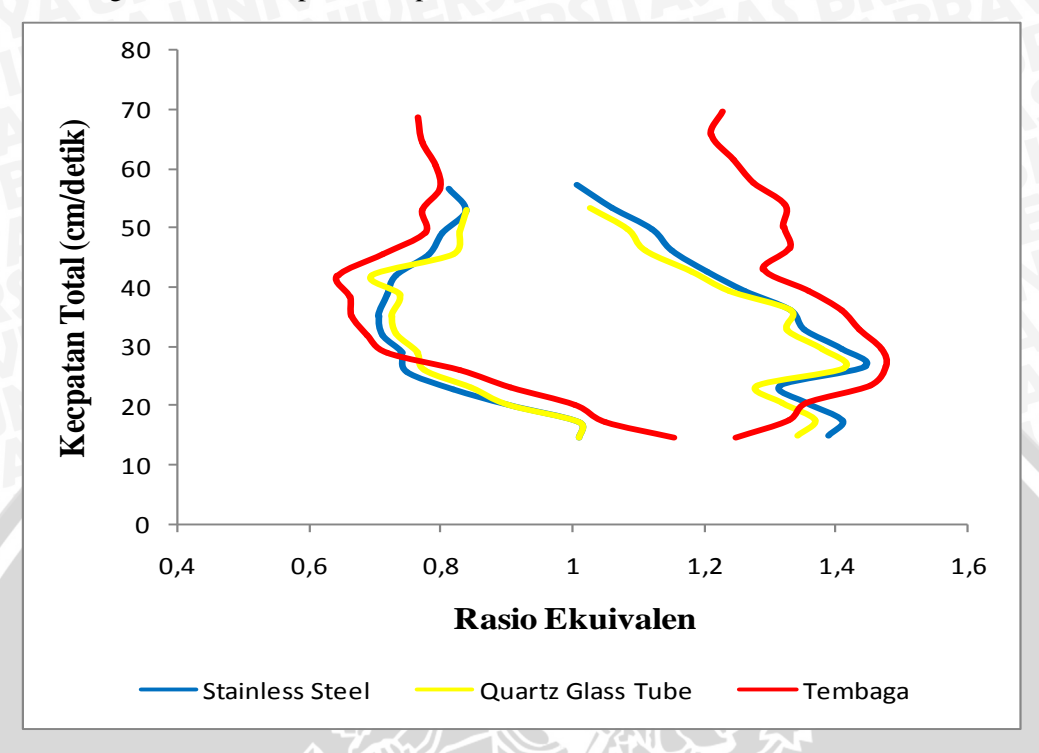


Gambar 4.6 Visualisasi nyala api pada meso-scale combustor dengan variasi rasio ekuivalen, dengan dan tanpa isolasi panas. Dengan 3x pembesaran

Gambar 4.6 menunjukan adanya perubahan luas penampang api pada *combustor* dengan isolasi panas dan *combustor* tanpa isolasi panas rasio ekuivalen  $\Phi$ =0.7,  $\Phi$ =0.1 dan  $\Phi$ =1.2. Pada *combustor* dengan isolasi panas luas penampang apinya terlihat sedikit lebih luas bila dibandingkan dengan luas penampang api pada combustor tanpa isolasi panas. Hal ini terjadi karena heat loss akibat perpindahan panas dari dinding kelingkungan terhambat oleh adanya isolasi panas (gass woll). Sehingga temperatur api dan ruang bakar menjadi lebih tinggi. Temperatur yang lebih tinggi ini dapat menekan terjadinya radical quenching dan pemadaman api di sekitar dinding combustor. Sehingga jarak antara dinding dan api menjadi lebih kecil dan luas penampang api menjadi lebih besar.

#### 4.3.2 Diagram Kestabilan Api dan Flammability Limit

A. Diagram kestabilan api dan flammablity limit pada combustor dengan variasi kondukktivitas termal dinding *combustor* tanpa isolasi panas.



Gambar 4.7 Flammability limit pada meso-scale combustor dengan variasi konduktivitas termal dinding combustor tanpa isolasi panas.

Konduktivitas termal dinding *combustor* memiliki peran penting dalam kestabilan api dalam meso-scale combustor. Karena dapat menentukan besarnya heat loss dan heat recirculation dalam combustor. Dimana heat loss diakibatkan adanya perpindahan panas dari api ke dinding yang selanjutnya dikonveksikan ke lingkungan akan mengakibatkan flame quenching. Sedangkan sebagian panas yang di konduksikan dari dinding menuju daerah upstream membantu pemanasan awal reaktan, bagian ini yang dapat menyebabkan kestabilan api dalam meso-scale combustor.

Dalam penelitian ini, meso-scale combustor yang memiliki konduktivitas termal tinggi adalah tembaga. Gambar 4.7 menunjukan bahwa, dalam combustor tembaga api dapat stabil pada kecepatan reaktan yang lebih tinggi bila dibandingkan dengan kedua combustor yang lainya. Hal ini menunjukan bahwa pada kecepatan reaktan yang tinggi kecepatan pembakaran dalam combustor tembaga lebih tinggi bila dibandingkan dengan kecepatan pembakaran dalam combustor quartz glass tube dan stainless steel. Sehingga api dapat stabil dalam combustor tembaga pada kecepatan reaktan tinggi.

Gambar 4.7 juga menunjukan bahwa combustor tembaga memiliki daerah flammability limit paling sempit pada kecepatan reaktan rendah bila dibandingkan dengan dua combustor lainya yakni combustor quartz glass tube dan combustor stainless steel. Hal ini disebabkan

pada kecepatan reaktan rendah energi yang dibangkitkan juga rendah, karena konduktivitas termal combustor tembaga yang tinggi, maka rasio kehilangan energi dari api terhadap kalor yang dibangkitkan dalam proses pembakaran menjadi besar. Sehingga temperature api menjadi lebih keci, demikian juga kecepatan pembakaranya. Akibatnya api mudah padam pada saat kecepatan reaktan rendah. Sedangkan combustor quartz glass tube dan combustor stainless steel yang memiliki konduktivitas termal rendah dan sedang, pada kecepatan reaktan rendah memiliki perbedaan daerah flammability limit yang tidak begitu berbeda. Karena konduktivitas termal rendah dan sedang pada kecepatan reaktan rendah heat loss maupun heat recirculation yang terjadi tidak begitu besar dan hilangnya energi api yang dibangkitkan api juga tidak begitu besar pula. Sehingga api masih dapat menyala meski pada kecepatan reaktan rendah dengan daerah flammabilty limit yang lebih luas.

Dapat dilihat pada Gambar 4.7 daerah flammability limit semakin luas dengan bertambahnya kecepatan reaktan. Pada kecepatan reaktan tinggi combustor tembaga memiliki daerah flammability limit yang lebih luas bila dibandingkan dengan dua combustor lainya. Hal ini karena pada kecepatan reaktan yang tinggi energi yang di bangkitkan juga semakin besar. Selain itu, pada kecepatan reaktan tinggi perpindahan panas secara konveksi dari dinding combustor ke reaktan yang digunakan untuk proses pemanasan awal reaktan menjadi lebih besar. Hal tersebut disebabkan karena pada daerah upstream terdapat aliran reaktan, yang lebih besar dan banyaknya panas yang digunakan untuk pemanasan awal reaktan semakin besar dengan bertambahnya kecepatan reaktan. Jika reaktan sudah memilki temperatur yang tinggi maka kecepatan pembakaran juga tinggi. Sehingga energi yang dibangkitkan juga meningkat yang mengakibatkan api dapat stabil dalam meso-scale combustor pada keceptan reaktan yang lebih tinggi. Kestabilan api pada kecepatan reaktan yang lebih tinggi berarti peningkatan densitas pembangkitan energi pada meso-scale combustor, juga berarti peningkatan densitas energi micro-power generator.

Selanjutnya akan dibahas tentang perbedaan daerah flammability limit untuk masingmasing combustor pada kondisi dengan isolasi panas dan tanpa isolasi panas. Grafik flammability limit untuk setiap combustor dengan dan tanpa isolasi panas di tunjukan pada Gambar 4.8.

70

Gambar 4.8 Flammability limit dalam meso-scale combutor dengan dan tanpa isolasi panas (a) quartz glass tube (b) stainless steel (c) tembaga.

Secara umum penggunaan isolasi panas dapat memperluas daerah flammability limit pada masing-masing combustor baik pada kecepatan reaktan yang tinggi maupun rendah. Hal tersebut dikarenakan perpindahan kalor dari dinding combustor ke lingkugan menjadi lebih kecil karena terhambat oleh adanya isolator dan sebaliknya konduksi kalor kearah upstream untuk pemanasan awal reaktan menjadi lebih besar. Sehingga temperatur reaktan dan pembakaran menjadi lebih tinggi. Demikian juga kecepatan pembakaranya menjadi lebih tinggi. Dengan adanya isolasi panas api dapat stabil pada kecepatan reaktan yang lebih tinggi.

Gambar 4.8 menunjukan perubahan luas daerah flammbility limit pada masing -masing combustor. Perubahan daerah flammability limit yang lebiht signifikan terjadi pada combustor tembaga bila dibandingkan dengan dua combustor yang lainya. Seperti telah dijelaskan dalam bagian sebelumnya, kalor yang dihasilkan dalam proses pembakaran secara garis besar dibagi menjadi dua yaitu kalor yang terbuang bersama gas hasil pembakaran dan heat loss dari api ke dinding combustor secara konveksi. Dimana heat loss ke dinding combustor ini dibagi lagi menjadi dua yaitu bagian kalor yang hilang kelingkungan secara konveksi dan sebagian kalor yang digunakan untuk pemanasan awal reaktan melalui konduksi pada dinding combustor. Hal ini terjadi karena pada *combustor* tembaga kehilangan dari api kedinding combustor lebih besar bila dibandingkan dengan dua combustor lainya. Selanjutnya bagian kalor dikonveksikan ke lingkungan terhambat karena adanya isolasi panas. Sehingga panas yang hilang ke lingkungan menjadi lebih kecil. Dan bagian panas yang dikonduksikan ke arah upstream untuk pemanasan awal reaktan (heat recirculation) menjadi lebih besar, mengakibatkan temperatur awal reaktan menjadi lebih tinggi. Semakin tinggi temperatur awal reaktan maka kecepatan pembakaran juga semakin tinggi. Adanya kandungan energi tambahan karena pemanasan awal reaktan dan kecepatan pembakaran yang tinggi dapat meningkatkan kestabilan api. Sehingga api dapat stabil pada daerah yang lebih luas dan pada kecepatan reaktan yang lebih tinggi. Pada combustor quartz glass tube dan stainless steel kalor yang terbawa dalam gas buang lebih besar dan jumlah kalor yang diresirkulasikan untuk pemanasan awal reaktan lebih kecil. Sehingga flammability limitnya lebih sempit serta pada kecepatan reaktan yang lebih kecil.

Dari Gambar 4.8 juga dapat diketahui bahwa, pada combustor tembaga baik dengan isolasi panas maupun tanpa isolasi panas api dapat stabil pada kecepatan reaktan maksimal yang sama. Sebenarnya api masih mungkin dapat stabil pada keceptan reaktan yang lebih tinggi. Tetapi karena keterbatasan flow meter dalam membaca debit udara maka data hanya bisa diambil pada debit maksimal yang terbaca oleh flow meter yakni 384,34mL/menit.

# **BAB V**

## **PENUTUP**

# 5.1 Kesimpulan

Konduktivitas termal dinding *combustor* berpengaruh pada karakteristik pembakaran dalam *meso-scale combustor*, khususnya visualisasi nyala api dan flammability limit. Penelitian tentang pengaruh konduktivitas termal dinding *combustor* terhadap karakteristik pembakaran dalam *meso-scale combustor* menghasilkan kesimpulan sebagai berikut :

- Pada kondisi stoikiometri (Φ=1) warna nyala api cenderung sama yakni berwarna biru. Sedangkan ada kondisi campuran kaya(Φ>1) warna nyala api untuk masing masing combustor sama yakni biru kehijauan. Baik pada combustor dengan isolasi panas maupun tanpa isolasi panas.
- Warna api pada masing masing combustor terlihat semakin terang seiring dengan bertambahnya kecepatan reaktan. Baik pada combustor dengan isolasi pana maupu tanpa isolasi panas.
- Combustor tembaga memiliki luas penampang api paling kecil daripada dua combustor lainya. Meski menggunakan combustor dengan isolasi panas maupun tanpa isolasi panas.
- Combustor tembaga memiliki daerah flammability limit paling luas dibanding dengan dua combustor lainya. Pada combustor dengan isolasi panas maupun dengan combustor tanpa isolasi panas.
- Dengan adanya isolasi panas pada masing masing combustor dapat meningkatkan flammability limit serta api dapat stabil pada kecepatan reaktan yang lebih tinggi

## 5.3 Saran

Berdasarkan penelitian yang dilakukan, maka disarankan beberapa hal sebagai berikut :

- 1. Penelitian yang dipaparkan dalam skripsi ini adalah *meso-scale combustor* menggunakan bahan bakar LPG, oleh karena itu perlu dilakukan penelitian menggunakan bahan bakar lainya.
- 2. Penelitian ini terkendala alat yaitu *flow meter* udara, karena batas maksimum membaca debit udara hanya mencapai 384.34mL/menit. sehingga disarankan untuk penelitian serupa menggunakan *flow meter* yang mampu membaca debit udara lebih dari 384.34mL/menit.

3. Penelitian ini menggunakan *combustor* homogen yakni memiliki konduktivitas termal dinding daerah *upstream* dan *downstream* sama. Sehingga pada penelitian selanjutnya disarankan menggunakan *combustor* non-homogen dengan perbedaan konduktivitas termal dinding *combustor* yang berbeda pada daerah *upstream* dan *downstream*.

